

СТРАТИГРАФИЯ И ХАРАКТЕРИСТИКА КУЛЬТУРНЫХ ОТЛОЖЕНИЙ

Археологические исследования двуапсидного храма в урочище Еди-Евлер позволили изучить различные по происхождению отложения, попавшие в границы раскопа, и охарактеризовать специфику их формирования.

Раскопками вскрыто два горизонта культурных напластований, насыщенных результатами антропогенной деятельности двух отдалённых одна от другой эпох. Верхний горизонт (I) связан со строительством, функционированием и разрушением средневекового храма, а также использованием его руин. Нижний (II) – содержит остатки ям и конструкций, датированных эпохой поздней бронзы.

В целом выделено 44 культурных слоя, в том числе 37 – средневековых, включая заполнение различных углублений, и 7 – эпохи бронзы, а также 4 археологически стерильных седимента (рис. 2.1; 2.2; 2.65; 2.69; 2.77). Их структура и состав не однородны на разных участках памятника, в особенности внутри северного и южного компартиментов церкви, в заполнении могилы, в различных углублениях и пр. Такие группы отложений рассматриваются отдельно, в связи с каждым конкретным объектом. Материковые отложения (глины и скальные породы таврической серии) на всей площади исследованного участка образуют достаточно ровную поверхность, незначительно понижающуюся к югу, юго-западу и западу. Возможно, площадка перед началом строительства специально выравнивалась. Материк прорезан котлованом здания храма и ямами различного назначения, в том числе и связанными с устройством погребального комплекса. Эти ямы сконцентрированы в северо-восточной и юго-восточной частях раскопа. Абрис поверхности материка и остатки архитектурных сооружений задают конфигурацию профиля залегающих на них слоев.

Горизонт I

Дёрн (рис. 2.1; 2.2: *слой № 1*; 2.3) – *достаточно рыхлый, тёмный, серо-коричневый грунт с мелким делювиальным пород таврической серии* (2.5Y. 3/2, very dark grayish brown)¹. Зафиксирован по всей площади раскопа, мощность – до 0,03-0,07 м. На большей части площади исследованной территории покрывал поверхность равномерно. В центральной и юго-западной части залегал между крупными камнями, образующими верхнюю часть слоя разрушения постройки. Включал в себя значительное количество фрагментов черепицы, также, вероятно, составлявших часть слоя разрушения храма, от-

дельные обломки амфор, пифосов и кухонно-столовой посуды IX – первой половины X в. (рис. 3.4; 3.6: 3; 3.38: 1, 2; 3.41: 4) и два фрагмента стеклянных сосудов (рис. 4.3: 158/1).

Слой достаточно рыхлого, тёмного, желтовато-коричневого грунта с большим количеством крупного и среднего камня (аргиллит) (10YR. 4/4, dark yellowish brown) (рис. 2.1; 2.2: *слой № 2*; 2.3: 2-4; 2.4). Представляет собой продукт разрушения кладок строения. Прослежен практически на всей площади раскопа, за исключением его периферийных частей: юго-западной, юго-восточной и северо-восточной (квв. 1-3F, 4C; квв. 2А-В, 3А-В с внешней стороны апсиды). Наибольшей мощности (до 0,4-0,5 м) достигает в районе южного компартамента. Археологический материал распределен по всему его профилю практически равномерно, включает фрагменты строительной (рис. 3.4; 3.6: 5, 8, 26; 3.7, 3.8: 31), тарной (рис. 3.31: 20; 3.34: 18; 3.36: 9, 10, 21; 3.38: 7, 14, 16, 19, 22, 27-29), кухонно-столовой (рис. 3.39: 6, 11; 3.41: 12, 15, 23, 30), керамики IX – первой половины X в. и один фрагмент белоглиняного поливного сосуда X в. (рис. 3.39; 3.42: 24). Интересны находки в нижней части отложений (восточный угол кв. 2Е) обломков дна коричневоглиняного сосуда закрытой формы группы ЮЗК (рис. 3.43: 13), а также фрагментированной поливной чаши с орнаментом сграффито и полихромной подцветкой (рис. 3.42; 3.43: 17), датирующихся соответственно XIV–XV вв. и второй половиной XIV – первой половиной XV в. Кроме того, в кв. 3Е найден бронзовый бубенчик с одной прорезью (рис. 6.2: 204), а в квв. 1D и 3С – фрагменты пластинчатых крестов из белого металла (рис. 5.6: 205, 206). В слое также обнаружены мелкие обломки известкового туфа (112 ед.) и фаунистические материалы.

В районе северо-восточной части северного компартамента (граница квв. 2В-2С) в структуре слоя зафиксирована линза коричневого рыхлого грунта с большим количеством фрагментов черепицы и отдельными мелкими камнями (рис. 2.1: *разрез 6–7*).

Слой плотно коричневого с оливковым оттенком грунта комковатой структуры (ореховато-комковатая почва) (2.5Y. 4/3, olive brown). Включает незначительное количество мелких камней и древесных углей. Почва накапливалась в различные периоды, вероятно, на тех участках памятника, которые длительное время оставались вне зоны активного посещения и использования, то есть там, где возникали стабильные условия для почвообразования. Этими обстоятельствами обусловлено как горизонтальное распространение отложений, так и характер вертикальных наслоений, образующих три разновременных горизонта (рис. 2.1; 2.2: *слои №№ 3*,

¹ Индексы и названия цветов седиментов здесь и далее приведены по: Munsell... 2000.

3а, 3б). Один горизонт зафиксирован между слоем № 2 и № 4 в квв. 2-3А, 1-3В, 3D-Е с внешней стороны апсид, мощность – до 0,10-0,15 м (рис. 2.1; 2.2: *слой № 3*).

Второй горизонт залегает под слоями №№ 2 и 4 в квв. 1В-Е, 2В-Е, 4В-С, 3С, 3F, с внешней стороны и над остатками северного компартимента (в том числе над кл. №№ 2, 3), а также над южным пилоном (кл. № 4) (рис. 2.1; 2.2: *слой № 3а*). Его мощность – до 0,08-0,12 м. Возможно, в районе северного компартимента слой частично сформировался за счет грунта, использованного в качестве связующего раствора в его кладках.

Третий горизонт находится между слоями №№ 7 и 8, в квв. 1-3F, мощность – до 0,08 м (рис. 2.1; 2.2: *слой № 3б*). Это наиболее ранние остатки почвы, которая образовалась здесь до начала строительства храма. На остальной территории эта почва, вероятно, была удалена в процессе нивелировки площадки перед началом строительных работ. Археологические находки (фрагменты черепицы, пифоса, амфор, кухонно-столовых сосудов) обнаружены только в нижней части слоя № 3. Скорее всего, они происходят из нижележащего слоя № 4.

Слой достаточно рыхлого светло-коричневого с оливковым оттенком грунта с большим количеством крупных обломков черепицы VIII–X вв., архитектурных деталей из известкового туфа, фрагментов известковой штукатурки, разрушенного известкового раствора, включением разномерного камня (2.5Y. 5/3, light olive brown) (рис. 2.1; 2.2: слой № 4; 2.6-2.14). Прослежен практически по всей площади раскопа с внешней стороны руин здания храма и частично над его северным компартиментом (рис. 2.14). Наибольшей мощности (до 0,25-0,27 м) слой достигает с внешней стороны юго-западной стены южного компартимента (квв. 2Е-F, 3Е-F). Здесь его верхняя часть сформирована более рыхлыми отложениями, насыщенными разрушенным известковым раствором и архитектурными деталями из туфа (84 ед. из них 4 целые формы) (рис. 2.9-2.11; 2.14). На некоторых архитектурных деталях сохранились остатки известковой штукатурки, иногда с остатками линейной росписи красной краской. С внешней стороны апсиды и северо-западной стены северного компартимента (квв. 1В, 1D, 2В) слой наименее мощный (до 0,05 м), выклинивается к юго-западу, в нем практически отсутствуют фрагменты известковой штукатурки (рис. 2.2: *разрез 5–13*). Над северным компартиментом на дневной поверхности, соответствующей уровню аккумуляции слоя № 4, обнаружены лишь отдельные обломки керамид (рис. 2.14). Таким образом, основной объём слоя № 4 сформирован продуктами разрушения кровли и, вероятно, стен храма, а также конструкций из мягких пород известняка, определяемого как туф.

Большая часть археологического материала в этом слое представлена крупными фрагментами черепицы (керамиды и калиптеры) VIII–X вв. (рис. 3.1; 3.2: 47; 3.4-3.8: 40, 50, 56, 68, 70; 3.10; 3.11; 3.14: 65, 66; 3.16: 54; 3.18-3.20: 52, 54, 72, 78; 3.21; 3.25: 51, 55; 3.23; 3.24: 53).

Они залегают горизонтально, образуя чётко выраженную поверхность. Компактные скопления артефактов зафиксированы с юго-востока и юго-запада от руин южного компартимента (рис. 2.6-2.8; 2.12; 2.14). Здесь также найдены обломки амфор (рис. 3.36; 3.37: 41, 44, 45, 58, 64) и других керамических сосудов (рис. 3.38-3.41: 38, 39, 42, 43, 46, 59-62, 71), в том числе реконструируемая форма кухонного горшка (рис. 3.38: 46), кремнёвые артефакты (17 ед.), фрагменты стеклянных сосудов (27 ед.) (рис. 4.3; 4.4: 160-162), изделия из металла (один металлический крест, скоба и бронзовый крюк от крепления лампы) (рис. 5.5: 210; 6.1: 207; 6.2: 208), оселок и каменное грузило (рис. 6.3; 6.4: 69, 209), фрагменты костей животных и створки морских моллюсков.

Слой рыхлого коричневого с оливковым оттенком грунта с мелким делювием материковых пород, большим количеством фрагментов известковой штукатурки, древесных угольков, створок морских моллюсков, кремнёвых чешуек, фрагментов стенок стеклянных сосудов (2.5Y. 4/3, olive brown) (рис. 2.1; 2.2: слой № 5; 2.13; 2.14). Залегает непосредственно под слоем № 4 с внешней стороны юго-восточной стены южного компартимента, в районе входа на большей части площади квв. 3-4С, D и в северо-восточной части квв. 3-4Е. Образует овальную в плане линзу, вытянутую по линии ЮЗ-СВ (рис. 2.14). Размер – около 4,20×2,20 м, мощность – до 0,15 м. Отдельные, характерные для слоя находки (кремнёвые обломки и чешуйки, мелкие фрагменты стеклянных сосудов) маркируют уровень дневной поверхности линзы в квв. 2 и 3Е, где соответствующий сколь угодно выразительный седимент не зафиксирован.

Линза довольно плотно насыщена разнообразным археологическим материалом, достигающим наибольшей концентрации в её центральной части. Крупные артефакты, а также небольшие скопления углей и створок моллюсков залегают практически горизонтально на разных уровнях, отражая различные этапы аккумуляции слоя. В числе находок из слоя № 5 – мелкие обломки керамики IX–X вв. (рис. 3.41: 73, 74), фрагменты стеклянных сосудов (339 ед.) (рис. 4.1; 4.2, 4.4: 163-197), кремнёвые артефакты (253 ед.) (рис. 6.3: 355, 387, 505, 639), изделия из чёрного и цветных металлов (железо, бронза, свинец) (рис. 5.2: 214, 218, 219, 220, 225; 6.2: 213, 215-218, 221-223), подвеска из зуба оленя (рис. 6.2: 224) и многочисленные фаунистические останки, представленные преимущественно створками морских моллюсков. Вероятно, слой № 5 образовался в результате каких-то регулярно осуществляемых действий, связанных с возжиганием огня при помощи кремня и кресала, общинной трапезой и интенсивной храмовой жизнью вообще, что и может объяснить порчу в этом месте стеклянных, и, возможно, керамических сосудов (о ритуалах, совершавшихся в церкви, см. главу 14 «Литургические особенности храма»). Слой № 5 примыкает к юго-восточной стене храма и к порогу существовавшего здесь входного проёма, относимого к третьему строительному периоду.

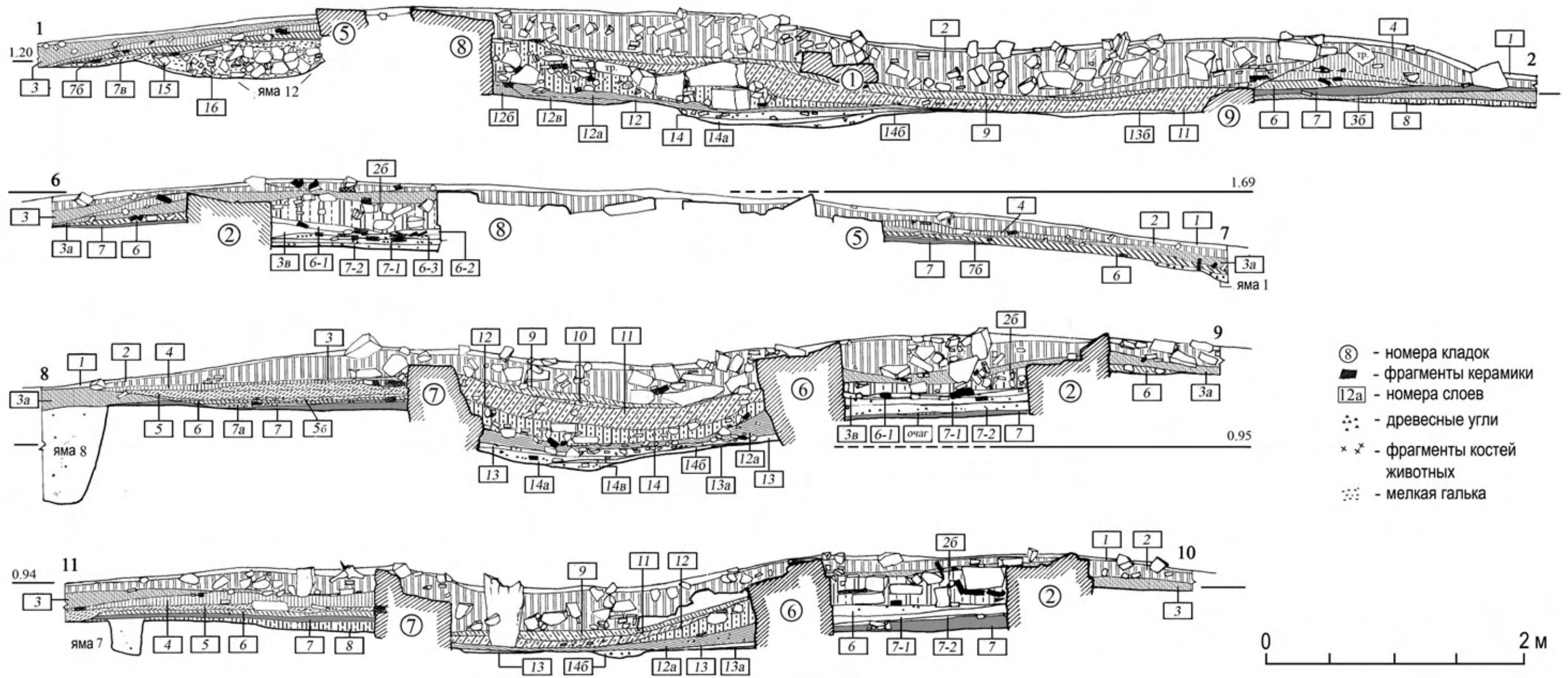


Рис. 2.1. Храм на холме Тузлук. Стратиграфические разрезы.
 Fig. 2.1. Church on the Tuzluk hill, stratigraphical sections.

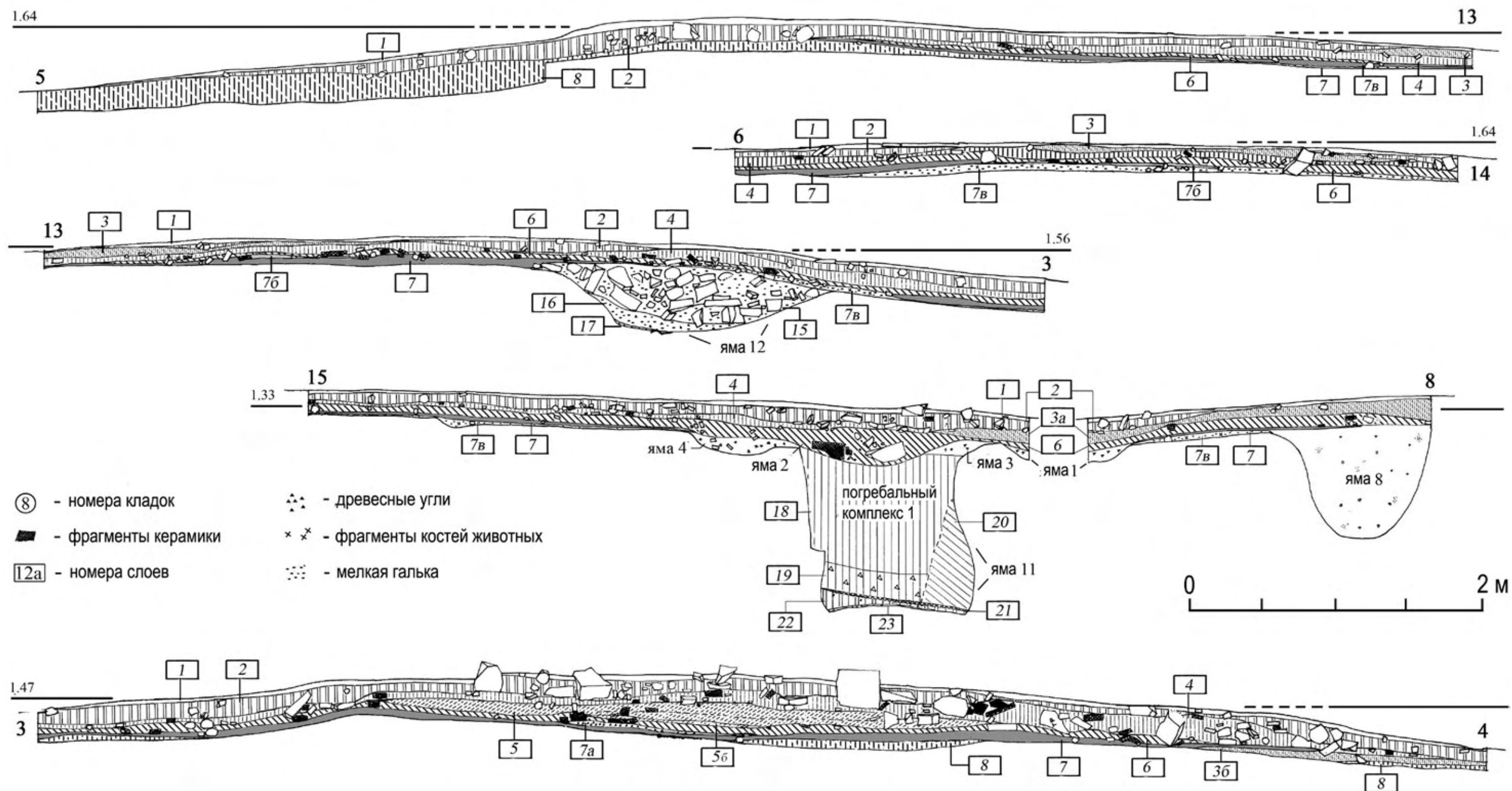


Рис. 2.2. Храм на холме Тузлук. Стратиграфические разрезы.
 Fig. 2.2. Church on the Tuzluk hill, stratigraphical sections.



Рис. 2.3. Руины храма на холме Тузлук до начала раскопок (1) и после удаления дёрна (2-4).
 Fig. 2.3. Ruins of the church on the Tuzluk hill before excavations (1) and after removing the greensward (2-4).

Слой плотно коричневого с оливковым оттенком грунта с большим количеством угольков, фрагментами костей животных и створок морских моллюсков, обломками известковой штукатурки (2.5Y. 4/3, olive brown) (рис. 2.1; 2.2: слой № 5б; 2.16). Представляет собой линзу, расположенную между слоями № 5 и № 6 у входа в храм, насыщенную продуктами горения, вероятно, остатками очага. Размер в плане – около 1,10×1,20 м, мощность – не более 0,03-0,04 м. Очаг несколько смещен к востоку от входа. Центр линзы примерно на 0,25 м отстоит от центральной оси проёма и на 0,30 м – от линии юго-восточной стены здания (кл. № 7). Археологический материал залегает горизонтально, образуя четко выраженную поверхность, включает мелкие фрагменты черепицы и красноглиняной гончарной посуды, обломки известковой штукатурки, стеклянных сосудов (3 ед.) и фаунистические останки. К югу и юго-западу от очага (напротив входа) отмечены скопления значительного количества фрагментов костей птиц и млекопитающих, створок морских моллюсков, связанных с церковными трапезами. Вероятно, этот слой представляет собой остатки первого очага, разожжённого перед

южным входом после реконструкции храма в третьем строительном периоде. Затем здесь с течением времени аккумулировался слой № 5.

Слой плотно желтовато-коричневого грунта с большим количеством крупных фрагментов черепицы VIII–X вв., мелким и средним камнем, фрагментами туфа и известковой штукатурки, обломками стенок красноглиняных сосудов, костями животных, створками морских моллюсков (10YR. 5/4, yellowish brown) (рис. 2.1; 2.2: слой № 6; 2.15; 2.16). Вскрыт практически по всей площади раскопа с внешней стороны руин церкви, за исключением периферийной юго-западной и западной части исследованного участка (квв. 1Е, 1-3F) (рис. 2.16). Средняя мощность слоя – 0,04-0,08 м, максимальная – 0,24 м (в заполнении ямы № 2) (рис. 2.2: разрез 15–8). Находки, в основном крупные обломки керамид и калиптеров, залегают горизонтально, образуя отчётливо выраженную поверхность. Компактные скопления артефактов зафиксированы в восточной и юго-восточной части исследованного участка (рис. 2.16). Кроме черепицы (керамид и калиптеров) VIII – первой половины X в., преобладающей в составе археологического материала

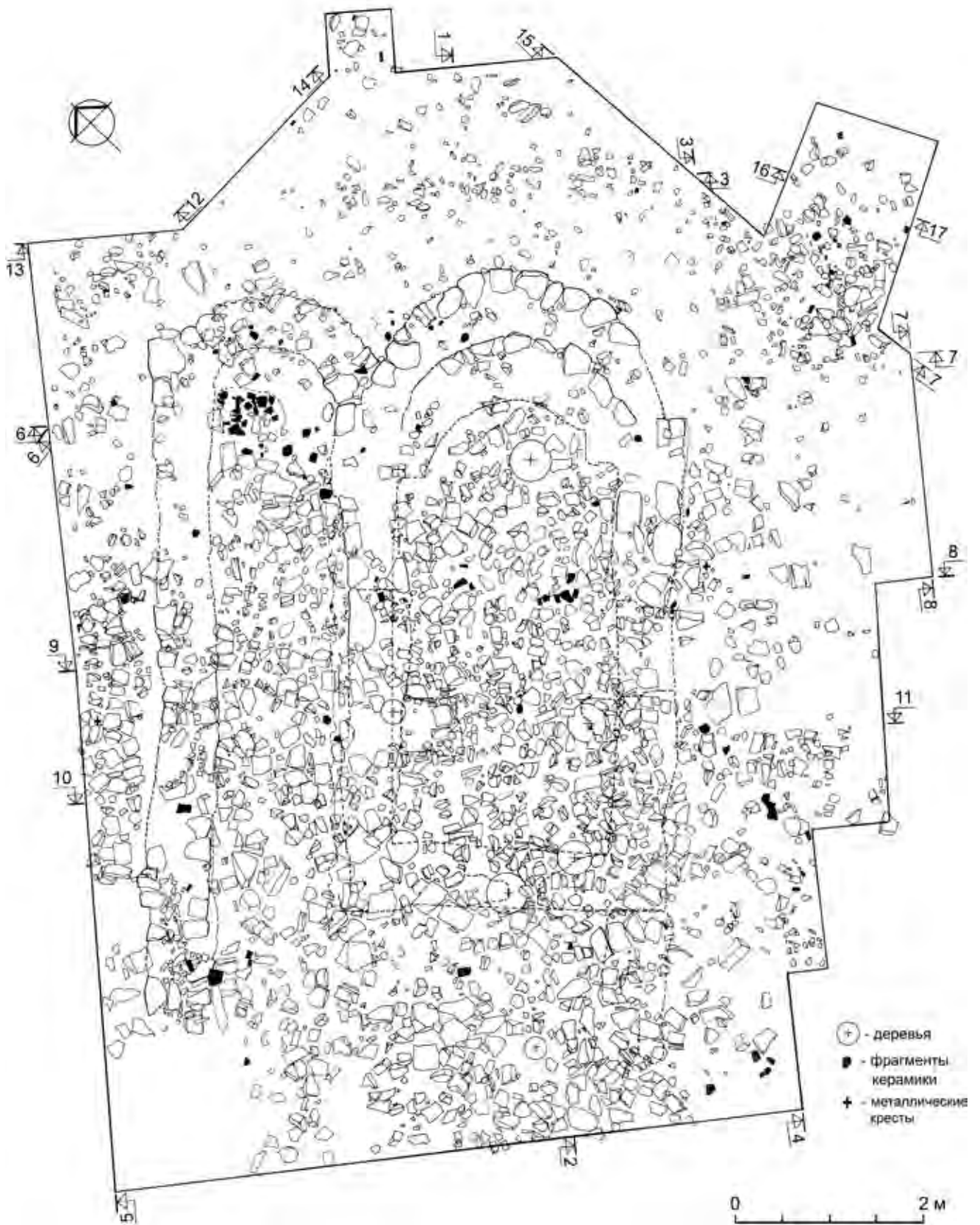


Рис. 2.4. Храм на холме Тузлук. Верхний слой разрушения (№ 2). План.

Fig. 2.4. Church on the Tuzluk hill, upper layer of destruction (no 2). Plan.



Рис. 2.5. Храм на холме Тузлук. Северная часть раскопа. Отложения под верхним слоем разрушения: в северном компартименте – слои №№ 3 и 2б; в южном компартименте – №№ 12 и 9. Вид с юго-запада.

Fig. 2.5. Church on the Tuzluk hill, northern part of the excavation. Deposits under the upper layer of destruction: layers nos 3 and 2b in the northern part of the church; layers nos 12 and 9 in the southern part of the church, view from southwest.



Рис. 2.6. Храм на холме Тузлук. Квадраты 3С и 4С. Слой № 4. Вид с северо-запада.

Fig. 2.6. Church on the Tuzluk hill, squares 3C and 4C, layer no 4, view from northwest.



Рис. 2.7. Храм на холме Тузлук. Квадрат 3F. Слой № 4. Вид с северо-запада.
Fig. 2.7. Church on the Tuzluk hill, square 3F, layer no 4, view from northwest.



Рис. 2.8. Храм на холме Тузлук. Квадрат 3В. Кладка апсиды южного компартамента (№ 5), слой № 4. Вид с северо-востока.
Fig. 2.8. Church on the Tuzluk hill, square 3B, wall masonry of the apses in the southern part of the church (no 5), layer no 4, view from northeast.



Рис. 2.9. Храм на холме Тузлук. Юго-западная часть раскопа (квадраты 1-2Е, 1-2F). Скопление фрагментов архитектурных деталей из известкового туфа (верхняя часть слоя № 4). Вид с юго-запада.
Fig. 2.9. Church on the Tuzluk hill, southwestern part of the excavation (squares 1-2E, 1-2F), concentration of fragments of architectural details of tufa (upper part of the layer no 4), view from southwest.



Рис. 2.10. Храм на холме Тузлук. Юго-западная часть раскопа (квадраты 1-2Е, 1-2F). Скопление фрагментов архитектурных деталей из известкового туфа (верхняя часть слоя № 4). Вид с юго-востока, сверху.
Fig. 2.10. Church on the Tuzluk hill, southwestern part of the excavation (squares 1-2E, 1-2F), concentration of fragments of architectural details of tufa (upper part of the layer no 4), view from the southeast.

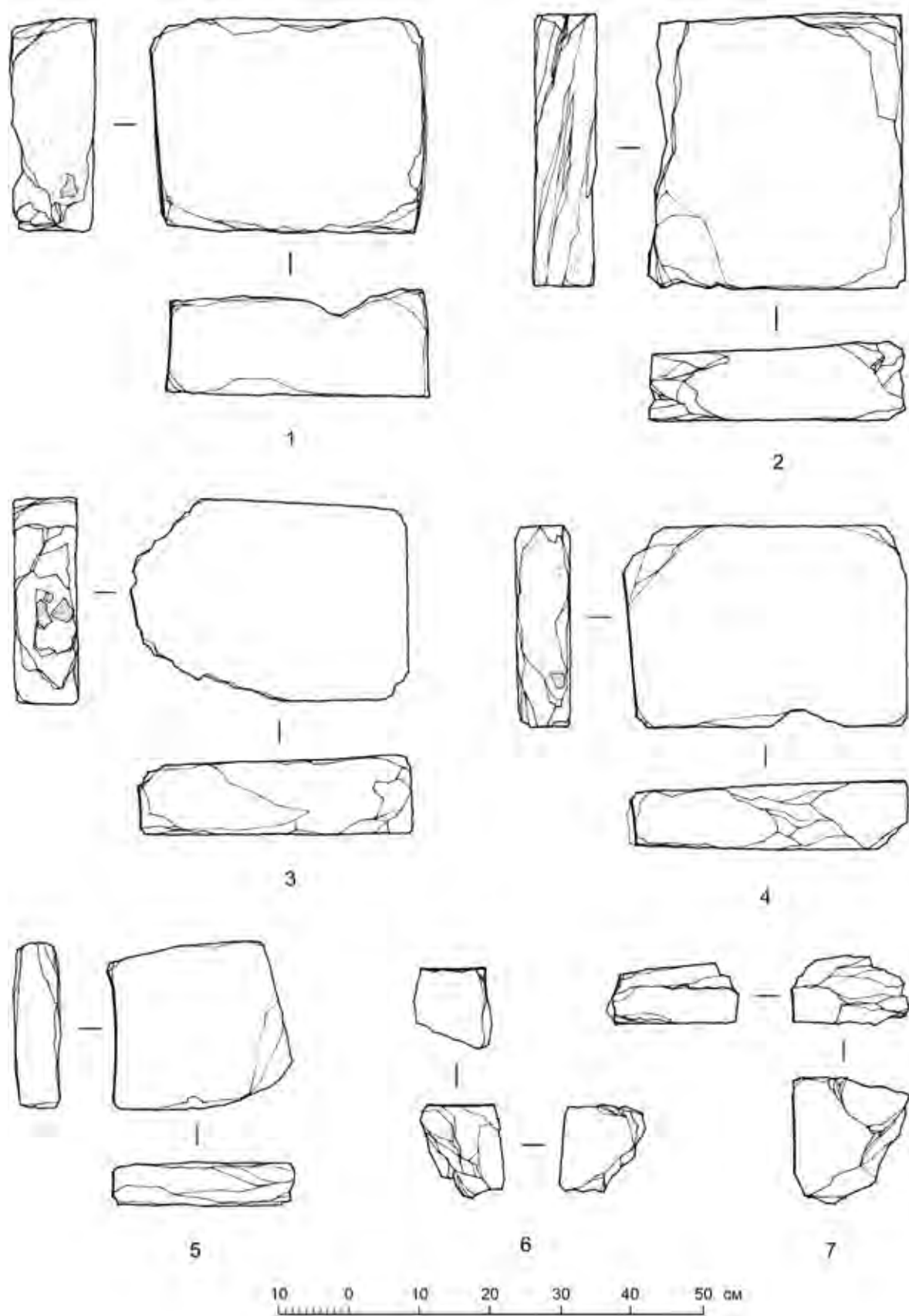


Рис. 2.11. Архитектурные детали из известкового туфа (верхняя часть слоя № 4).
 Fig. 2.11. Church on the Tuzluk hill, architectural details of tufa (upper part of the layer no 4).



Рис. 2.12. Храм на холме Тузлук. Южная часть раскопа (квадраты 3D-F), слой № 4. Вид с северо-востока.
Fig. 2.12. Church on the Tuzluk hill, southern part of the excavation (squares 3D-F), layer no 4, view from northeast.



Рис. 2.13. Храм на холме Тузлук. Разрез по линии 3–4, фрагмент. Вид с северо-запада.
Fig. 2.13. Church on the Tuzluk hill, stratigraphical section (3-4), fragment, looking southeast.

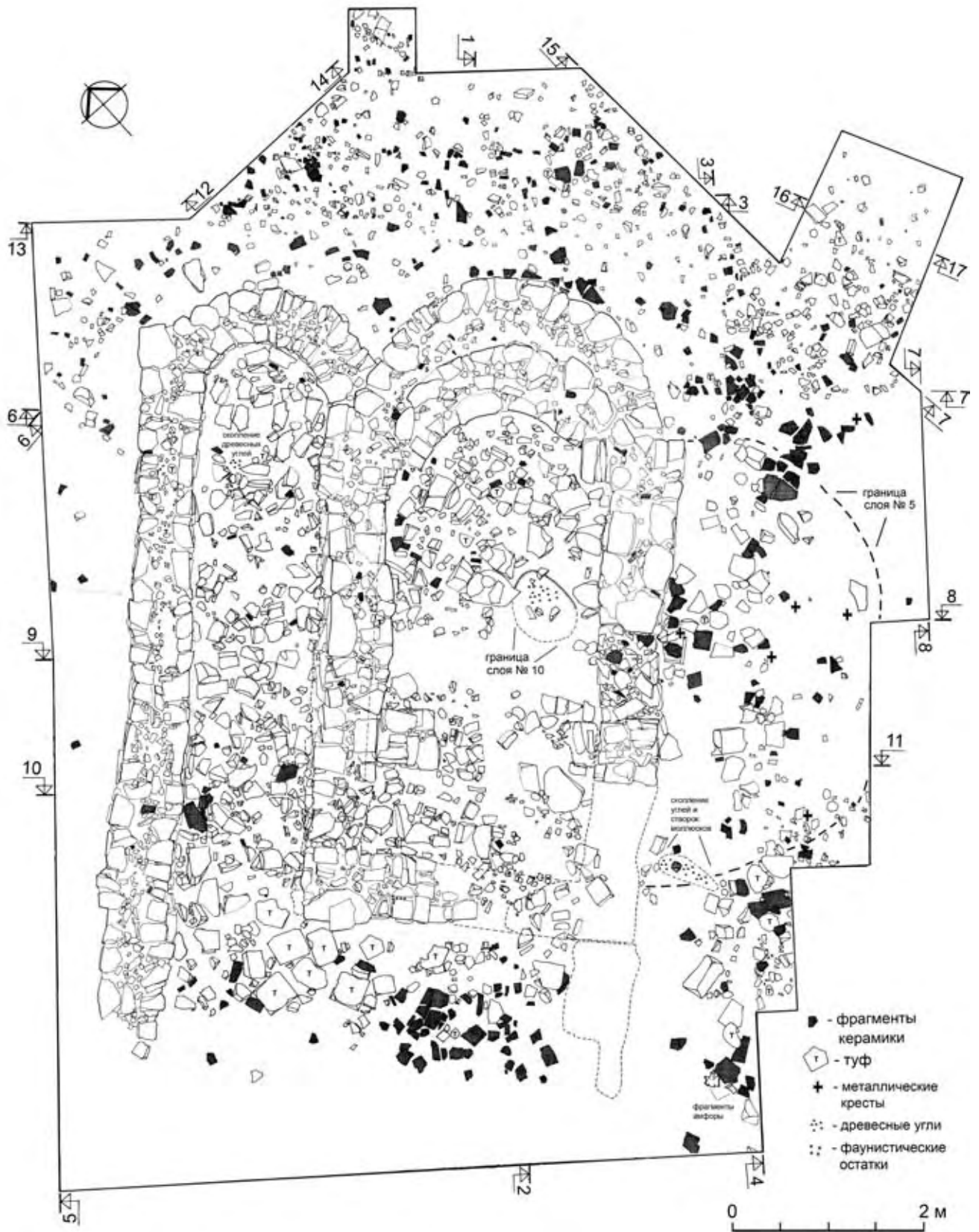


Рис. 2.14. Храм на холме Тузлук. Слои №№ 26, 4, 5, 10, 11, 12. План.
 Fig. 2.14. Church on the Tuzluk hill, layers nos 26, 4, 5, 10, 11, 12, plan.



Рис. 2.15. Храм на холме Тузлук. Юго-западная часть раскопа (квадраты 1-2Е, 1-2F). Слой № 6. Вид с северо-запада.
 Fig. 2.15. Church on the Tuzluk hill, southwestern part of the excavation (squares 1-2E, 1-2F), layer no 6, view from northwest.

(рис. 3.1; 3.3: 101; 3.7, 3.8: 96; 3.12, 3.13: 88; 3.14, 3.15: 103; 3.18; 3.20: 97; 3.23-3.25: 93, 98; 3.26; 3.28: 102), в слое обнаружены обломки амфор и кухонной посуды IX–X вв. (рис. 3.34; 3.37: 90, 99, 127; 3.35: 75; 3.38: 95; 3.41; 3.42: 94), фрагменты стеклянных сосудов (11 ед.) (рис. 4.3: 198-200), двух металлических крестов (рис. 5.2: 228, 229), железного наконечника стрелы (рис. 6.1: 227), крест, вырезанный из дирхема (рис. 5.6: 226), петелька из бронзовой проволоки от пуговицы-подвески (рис. 6.2: 230), обломки архитектурных деталей из известкового туфа, фаунистические останки. Таким образом, основной объём слоя № 6, как и слоя № 4, сформирован, вероятно, продуктами разрушения кровли и других конструкций храма.

Слой *плотного, тёмного, желтовато-коричневого глинистого грунта с угольками, значительным количеством фрагментов костей животных, отдельными мелкими обломками керамики* (10YR. 4/4, dark yellowish brown) (рис. 2.1; 2.2: *слой № 7*). Прослежен практически на всей площади раскопа, за исключением внутреннего объёма южного компартимента, а также небольших участков к северо-востоку и северу от внешнего контура апсид храма (квв. 2А-В, северная часть кв. 3В) и с внешней стороны северо-западной стены северного компартимента (квв. 1С-Е) (рис. 2.17). Мощность слоя в среднем 0,04-0,06 м. В юго-западной части северного компартимента она достигает 0,08 м, постепенно уменьшаясь к северо-востоку (рис. 2.1: *разрез II-10*). Здесь в составе слоя встречаются мелкие и средние камни.

Археологический материал равномерно распределён по всему профилю отложений, включает незначительное количество мелких фрагментов керамики (черепи-

цы, амфор, кухонно-столовой посуды) IX–X вв. (рис. 3.35: 122; 3.38: 123), обломков стенок стеклянных сосудов (7 ед.), кремнёвую чешуйку и отщеп, фаунистические останки.

В верхней части слоя зафиксированы три линзы, насыщенные продуктами горения (открытые очаги) (рис. 2.2: *слой № 7а*; 2.17: *очаги 1-3*; 2.52; 2.53) и отдельные скопления крупных фрагментов красноглиняных амфор и кухонно-столовых сосудов, сопровождаемые угольками, фрагментами костей животных и створок морских моллюсков (рис. 2.1; 2.2: *слой № 7б*; 2.17; рис. 3.34: 18; 3.35; 3.37: 76, 80, 81, 83, 85, 91, 92, 126, 128, 258; 3.38: 86, 87). Они залегают горизонтально, образуя выраженную поверхность, в соответствии с рельефом слоя № 7. Скопления обломков амфор отмечены только с внешней стороны апсид (квв. 1-4В), а также над остатками очага № 1 (рис. 2.17). Очажные линзы располагались в районе входов (об этом см. ниже) как снаружи храма, так и внутри северного компартимента.

Очаг № 1 – зафиксирован с внешней стороны юго-восточной стены храма (кл. № 7), немного смещён к востоку от входа (рис. 2.2: *слой № 7а*; 2.17: *очаг № 1*). В плане овальный, вытянут по линии СЗ-ЮВ, размер – около 1,12×0,70 м, мощность – не более 0,03-0,04 м. Его центр примерно на 0,80 м отстоит от центральной оси проёма и на 1,15 м от юго-восточной стены здания (кл. № 7). В заполнении очажной линзы отмечено значительное количество фрагментов костей птиц и млекопитающих и створок морских моллюсков.

Очаг № 2 – находился напротив юго-западного входа в северный компартимент, примерно в 0,30 м снаружи от него. В плане овальный, вытянут по линии СВ-ЮЗ,

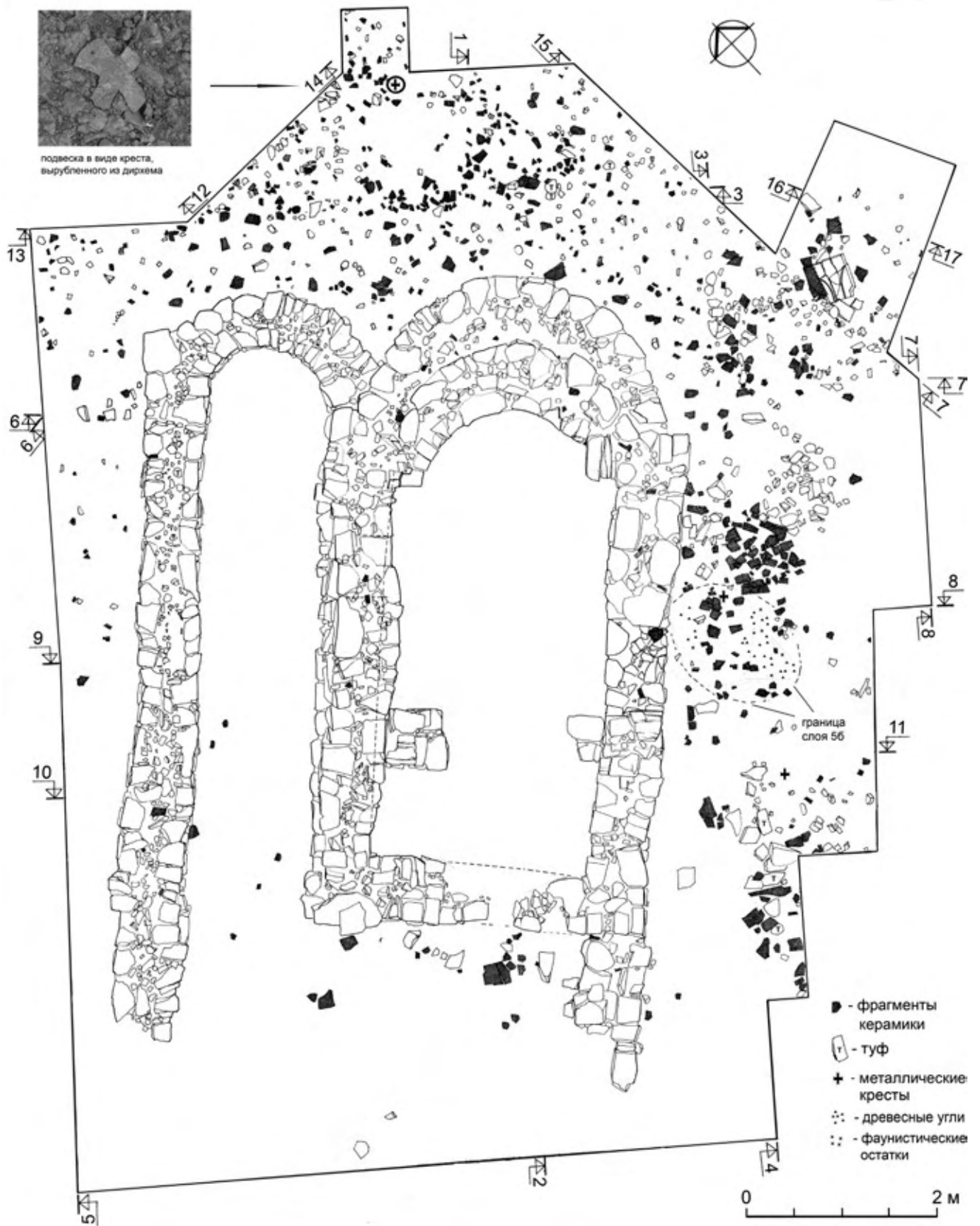


Рис. 2.16. Храм на холме Тузлук. Слой № 6 и 56. План.
 Fig. 2.16. Church on the Tuzluk hill, layers nos 6 and 56, plan.

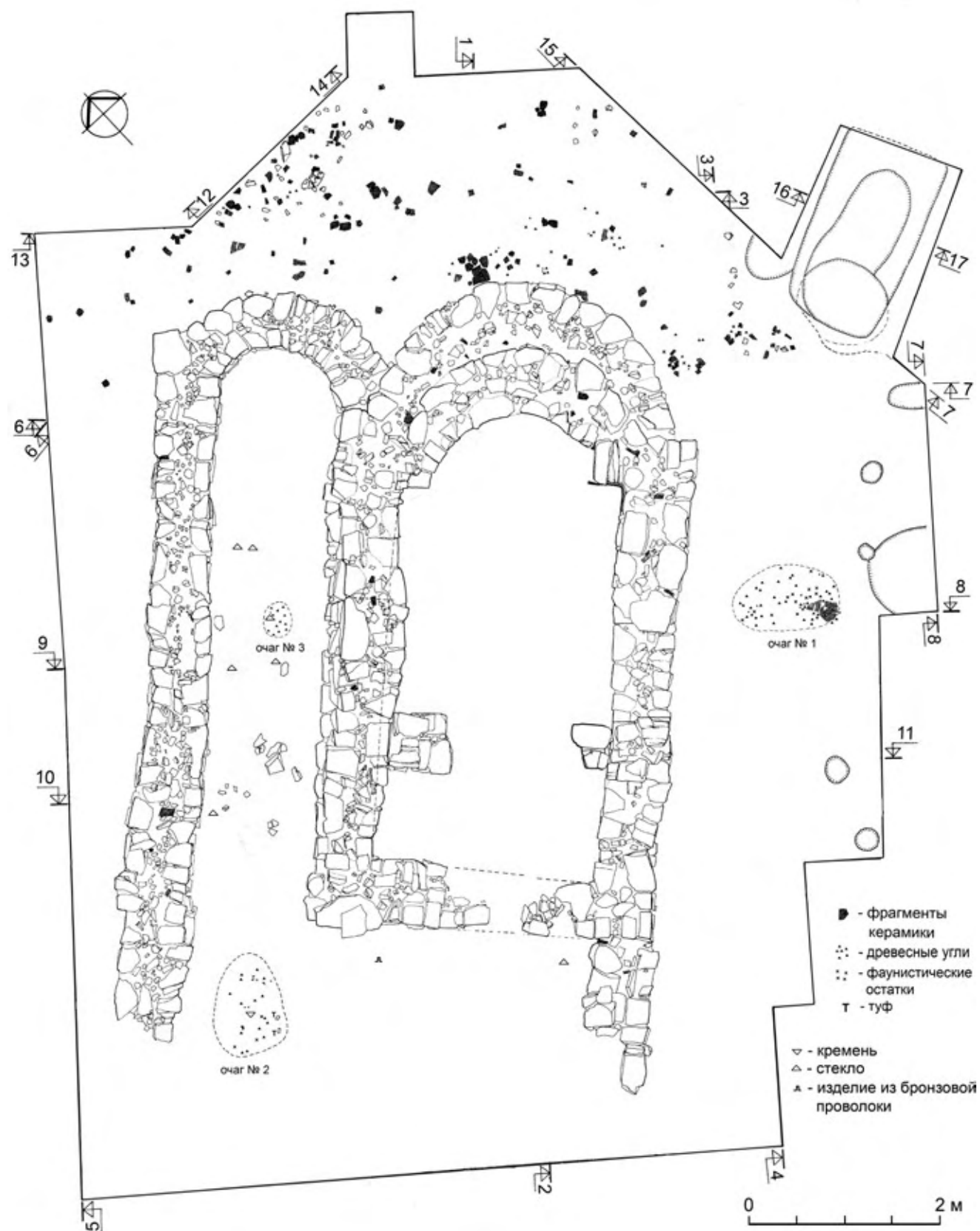


Рис. 2.17. Храм на холме Тузлук. Слой № 7б и 7, очаги, ямы. План.
 Fig. 2.17. Church on the Tuzluk hill, layers nos 7b and 7, hearths and pits, plan.



Рис. 2.18. Храм на холме Тузлук. Южный компартимент.

Слой № 12, верхняя часть. Вид с юго-запада, сверху.

Fig. 2.18. Church on the Tuzluk hill, southern nave, layer no 12, upper part, view from southwest.

размер – около 1,05×0,95 м, мощность – 0,03-0,08 м (рис. 2.17: *очаг № 2*; 2.52; 2.53). Археологический материал из очага включает необожжённые фаунистические останки (кости животных, створки морских моллюсков), мелкие фрагменты туфа, один кремнёвый отщеп.

Очаг № 3 – располагался в центральной части северного компартимента, к западу от юго-восточного входа (рис. 2.1: *разрез 8–9*; 2.17: *очаг № 3*). Центр линзы отстоит примерно на 0,50 м к юго-западу от центральной оси проёма и на 0,40 м от юго-восточной стены (кл. № 6). Очажная линза в плане округлая, размер – 0,36×0,30 м, мощность – не более 0,02-0,03 м. В её заполнении найден фрагмент стенки стеклянного сосуда. Еще четыре аналогичных обломка обнаружены на поверхности слоя № 7 в 0,60 м к северу, в 0,20 и 0,50 м к западу и юго-западу от очага.

Слой № 7 примыкает к кладкам стен храма и порогу входного проёма в юго-восточной стене, соотносимого с первым строительным периодом. Он, вероятно, образовался в процессе выравнивания дневной поверхности вокруг храма и внутри северного компартимента вскоре после завершения строительства здания. На большей части площади раскопа он залегает на материке или археологически стерильных отложениях: древней погребённой почве (рис. 2.1; 2.2: *слой № 3б*) и предматериковом *плотном коричневом глинистом грунте*

с большим количеством разномерного делювия пород таврической серии (рис. 2.1; 2.2: *слой № 8*). Только в северной и северо-восточной части раскопа (кв. 1-3В, 2-3А), а также в юго-восточной части кв. 4С его подстилает культурный слой № 7в (рис. 2.1; 2.2). Кроме того, в кв. 2Е с внешней стороны юго-западной стены (кл. № 9) под слоем № 7 отмечена *линза плотного коричневого глинистого грунта с отдельными фрагментами костей животных*. Отложения, сформировавшие линзу, очень похожи на грязевой раствор, скрепляющий камни кладок первого строительного периода. Размер линзы в плане – около 0,50×0,30 м, мощность – до 0,05 м.

Слой № 7 прорезан ямами №№ 1-7 и 9.

Слой плотного коричневого грунта со значительным количеством мелкой морской гальки, мелким камнем, фрагментами костей животных (10YR. 4/4, dark yellowish brown) (рис. 1.1; 2.1, 2.2: *слой № 7в*). Наибольшей мощности (до 0,07 м) слой достигает к северу и северо-востоку от южной апсиды. Здесь в его структуре отмечено также значительное количество мелкого и среднего камня. Слой № 7в залегает на поверхности материка, между выступами материковой скалы, а также над остатками каменной насыпи культового комплекса эпохи поздней бронзы, в заполнении которого также отмечено большое количество мелкой морской гальки² (рис. 2.1: *разрез 1–2*). Распространение гальки на значительной площади за пределами комплекса, а также скопление камня к северо-западу от него могло быть следствием нивелировки площадки перед началом строительства храма, в результате которой была частично разрушена и перемещена со своего первоначального положения верхняя часть каменной насыпи. Мелкие фрагменты средневековой керамики, обнаруженные в слое № 7в, в кв. 1 и 3В, свидетельствуют в пользу такого предположения. Возможно, также, что скопление камня – это остатки строительного материала, запасы которого могли располагаться к северу и северо-западу от возводимой церкви³.

С дневной поверхности слоя № 7в впущена яма № 8.

ЮЖНЫЙ КОМПАРИМЕНТ

Внутри южного компартимента под верхним слоем разрушения (№ 2) исследовано 13 седиментов, содержащих остатки антропогенной деятельности.

Слой рыхлого, светло-коричневого с оливковым оттенком грунта с незначительным количеством известковой штукатурки, угольков, фрагментов керамики (2.5Y. 5/3, light olive brown) (рис. 2.1: *слой № 9*). Зафиксирован по всей площади южного компартимента под слоем № 2, в северо-восточной части помещения залегает практически горизонтально. Здесь его мощность достигает 0,12 м. К юго-западу уровень отложений по-

² Детальную характеристику комплекса см. ниже.

³ Подобное расположение строительных материалов отмечено при исследовании храмов XIV–XV вв. на г. Аю-Даг и в с. Малый Маяк. В обоих случаях к северу или северо-западу от культовых строений находились ямы для приготовления известкового раствора (Лысенко, Тесленко 2002б: 62, рис. 2; Тесленко, Лысенко 2004б: 280, рис. 3).



Рис. 2.19. Храм на холме Тузлук. Южный компартимент, апсида. Слой № 12, нижняя часть: скопление фрагментов известкового туфа, черепицы, известковой штукатурки, днище кувшина (№ 135). Вид с юго-запада.

Fig. 2.19. Church on the Tuzluk hill, southern apse, layer no 12, low part: concentration of fragments of tufa, tiles, mortar, bottom of jug (no 135), view from southwest.



Рис. 2.20. Храм на холме Тузлук. Южный компартимент, апсида. Слой № 12, нижняя часть: скопление фрагментов известкового туфа, черепицы, известковой штукатурки, днище высокогорлого кувшина (№ 135). Вид с северо-востока.

Fig. 2.20. Church on the Tuzluk hill, southern apse, layer no 12, low part: concentration of fragments of tufa, tiles, mortar, bottom of jug (no 135), view from northeast.



Рис. 2.21. Храм на холме Тузлук. Южный компартимент, южное заплешико. Слой № 12, скопление крупных фрагментов керамид, стенок пифосов, плоских плиток из аргиллита и известкового туфа. Вид с юго-запада.

Fig. 2.21. Church on the Tuzluk hill, southern apse, southern part of the apse, layer no 12, concentration of big fragments of roof tiles, fragmented pithoi, flat slabs of mudstone and tufa, view from southwest.

нижается (угол падения около 10°), мощность не превышает 0,04-0,06 м. В слой № 9 впущен нижний ряд камней кладки № 1. Археологический материал равномерно распределен по всему профилю, представлен фрагментами красноглиняной черепицы VIII–X вв. и гончарных сосудов IX–X вв. (рис. 3.41; 3.42: 131), обломком венчика поливной чаши второй половины XIV–XV вв. (рис. 3.42; 3.43: 130), фаунистическими находками. Отчётливых горизонтальных и/или вертикальных скоплений находок не зафиксировано.

Слой плотного коричневого грунта с большим количеством фрагментов штукатурки, обломков туфа и нуммулитового известняка, мелких и средних камней, фрагментами костей животных, створками морских моллюсков, угольками (2.5Y. 6/4, light yellowish brown) (рис. 2.1: слой № 11). Выявлен практически на всей площади южного компартимента, за исключением апсиды, в кв. 3Е частично перекрывает остатки кладки юго-западной стены храма (кл. № 9). Уровень слоя незначительно понижается к юго-западу (угол падения не более 10°), мощность – 0,08-0,22 м. Археологические находки распределены равномерно, не образуют отчётливых скоплений. Они представлены обломками красноглиняной черепицы VIII–X вв., разнообразных керамических сосудов IX–X вв. (рис. 3.41; 3.42: 132, 133), фрагментами изделий из стекла (5 ед.) и металла (железное кольцо [рис. 6.1: 232], свинцовая полоса [рис. 6.2: 231]), кремнёвыми артефактами, обломками архитектурных деталей из мягких пород известняка, фаунистическими останками. В слое № 11 в значительном количестве присутствуют продукты разрушения стен



Рис. 2.22. Храм на холме Тузлук. Южный компартимент, южное заплешико. Слой № 12, скопление крупных фрагментов керамид, стенок пифосов, плоских плиток из аргиллита и известкового туфа. Вид с северо-запада, сверху.

Fig. 2.22. Church on the Tuzluk hill, southern apse, southern part of the apse, layer no 12, concentration of big fragments of roof tiles, fragmented pithoi, flat slabs of mudstone and tufa, view from northwest.

и других конструкций храма: камни мелкой и средней фракции, мелкие фрагменты изделий из мягких пород известняка, крупные фрагменты известковой штукатурки. Создаётся впечатление, что крупный строительный камень и архитектурные детали из этого слоя преднамеренно выбраны.

Между слоями №№ 9 и 11 зафиксирована линза рыхлого оливково-коричневого грунта с большим количеством древесных углей, костями животных, створками морских моллюсков (2.5Y. 5/4, light olive brown) (рис. 2.1: слой № 10). Линза округлой в плане формы (размер – 0,65×0,74 м, мощность – до 0,04-0,05 м) расположена в центральной части компартимента, на границе квв. 3С-3Д, вероятно, представляет собой остатки очага. Находки залегают практически горизонтально. Кроме многочисленного фаунистического материала (фрагменты костей животных и створки морских моллюсков) здесь обнаружены мелкие фрагменты красноглиняной черепицы, известковой штукатурки и туфа.

Слой плотного коричневого грунта с большим количеством разномерного камня, обломков архитектурных деталей из известкового туфа и черепицы (2.5Y. 6/4, light yellowish brown) (рис. 2.1: слой № 12; 2.18-2.23). Наибольшей мощности (до 0,35-0,40 м) слой достигает в северо-восточной части южного компартимента и практически полностью выклинивается к центру. Основной объём этих напластований образован продуктами разрушения стен (камни разной величины, наиболее крупные экземпляры – до 0,45×0,20×0,12 м) и перекрытия храма (обломки известкового туфа и черепицы VIII–X вв.). Кроме того, в слое обнаружены фрагменты кера-

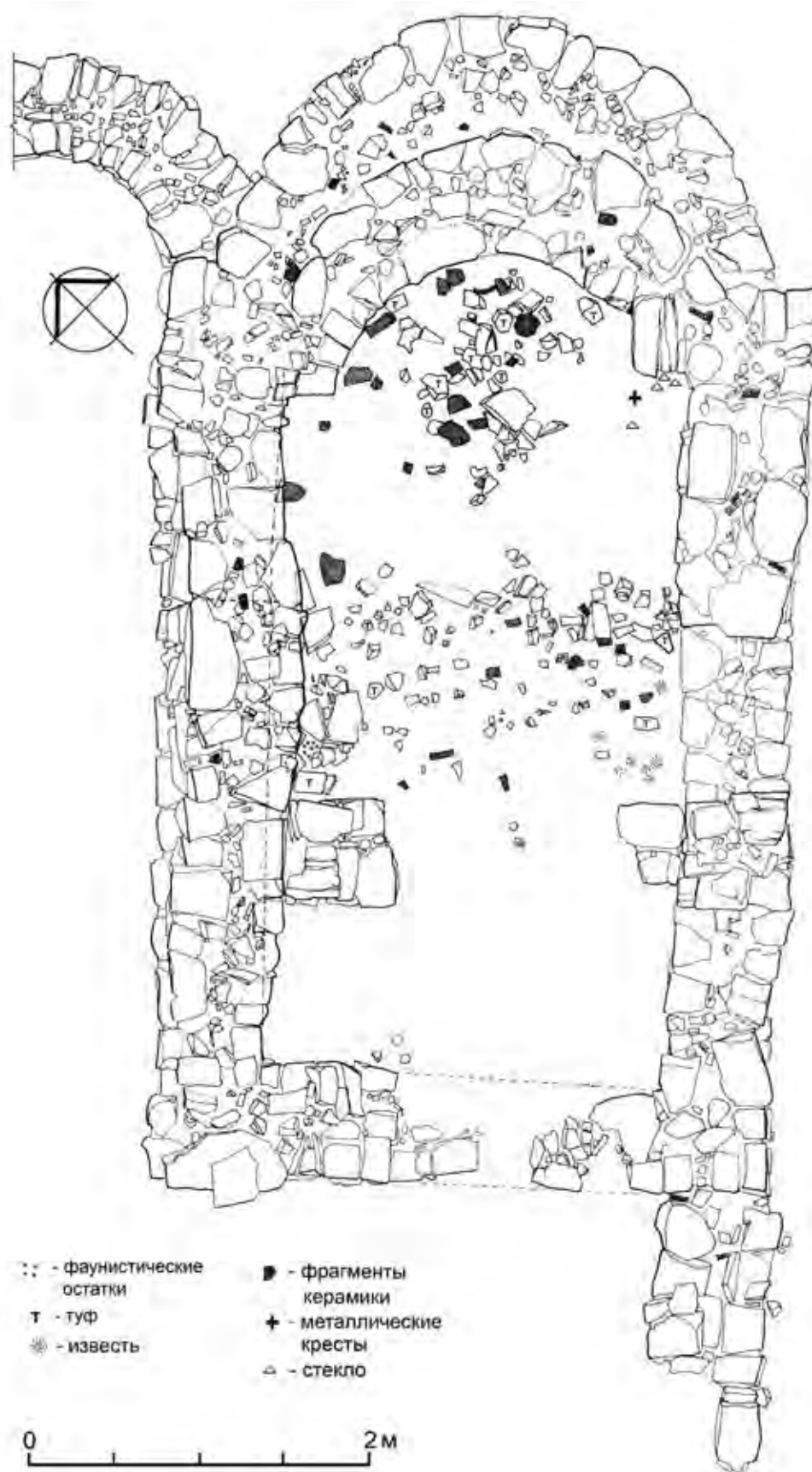


Рис. 2.23. Храм на холме Тузлук. Южный компартимент. Слой № 12, нижняя часть. План находок.
Fig. 2.23. Church on the Tuzluk hill, southern part of the church, layer no 12, low part, plan of the distribution of finds.

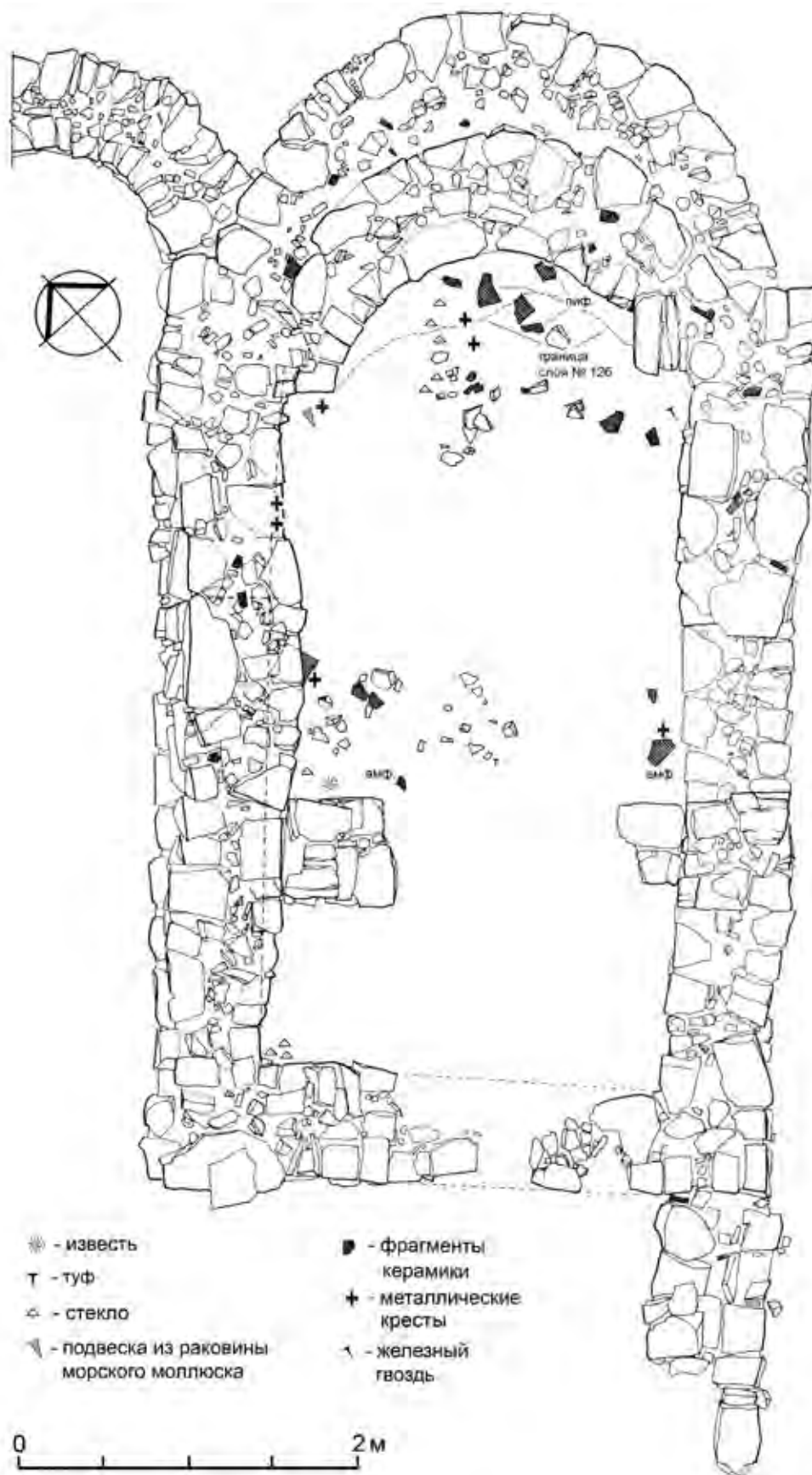


Рис. 2.24. Храм на холме Тузлук. Южный компартимент. Слои №№ 12а, 126. План находок.
 Fig. 2.24. Church on the Tuzluk hill, southern part of the church, layers nos 12a, 126, plan of the distribution of finds.



Рис. 2.25. Храм на холме Тузлук. Южный компартимент. Порог северного входа. Слой № 12а. Фрагменты железных крестов (№№ 237, 238). Вид с юго-востока.

Fig. 2.25. Church on the Tuzluk hill, southern part of the church, doorstep of the northern entrance, layer no 12a, fragments of iron crosses (nos 237, 238), view from southeast.

мической тары и кухонно-столовой посуды IX–X вв. (рис. 3.41: 157), отдельные обломки стенок стеклянных сосудов (5 ед.) и железного стержня (рис. 6.1: 233), фаунистические останки, древесные угольки. Большинство находок залегало горизонтально, было сконцентрировано в нижней части слоя № 12 в квв. 2-3С. У южного заплечика апсиды в кв. 3С зафиксировано компактное скопление крупных фрагментов керамид, стенок пифосов, плоских плиток из аргиллита и туфа. Обломки располагались на площади около 0,40×0,30 м, горизонтально один над другим, в 3 ряда (мощность – около 0,20 м) (рис. 2.21; 2.22). Среди них найден фрагментированный стеклянный сосуд (рис. 4.3: 201)⁴ и металлический крест (рис. 5.4: 244). Сосредоточение значительного количества обломков архитектурных деталей из известкового туфа, крупных фрагментов черепицы и известковой штукатурки отмечено также в центральной части апсидного полукружия (рис. 2.19; 2.20; 2.23), здесь же найдена донная часть высокогорлого кувшина (рис. 3.34; 3.37: 135), большие фрагменты днища и стенки пифоса (рис. 3.31: 134). Возможно, эти скопления представляют собой остатки каких-то конструкций церкви и алтарной преграды, в связи с которыми располагались вышеупомянутые предметы. Форму и параметры конструкций



Рис. 2.26. Храм на холме Тузлук. Южный компартимент. Порог северного входа. Слой № 12а. Фрагменты железных крестов (№№ 237, 238). Вид с юго-востока, сверху.

Fig. 2.26. Church on the Tuzluk hill, southern part of the church, doorstep of the northern entrance, layer no 12a, fragments of iron crosses (nos 237, 238), view from east.

⁴ Два обломка этого же сосуда найдены в слое № 14 и 14г, кв. 3С.



Рис. 2.27. Храм на холме Тузлук. Южный компартимент. Слои №№ 12б, 12в, 13, 14, 13б. Общий вид с юго-запада.
Fig. 2.27. Church on the Tuzluk hill, southern nave, layers nos 12b, 12v, 13, 14, 13b, view from southwest.

установить затруднительно.

Слой достаточно плотного оливково-коричневого, глинистого грунта с большим количеством фрагментов известковой штукатурки, мелкими камнями, угольками, обломками черепицы, отдельными фрагментами красноглиняных сосудов, незначительным количеством костей животных (2.5У. 5/4, light olive brown) (рис. 2.1: слой № 12а; 2.24). Обнаружен непосредственно под слоем № 12 на большей части площади южного компартимента, примыкает к его стенам (за исключением кладки апсиды, от которой граница слоя отстоит на 0,05-0,25 м), перекрывает проёмы в северо-западной и юго-восточной стене. В первом случае – подстилает заклад проёма (рис. 2.25; 2.26), во втором – служит основанием вымостки входа третьего строительного периода (рис. 1.56: II). Кроме того, на слой № 12а поставлены кладки массивной каменной перегородки, разделившей в третьем строительном периоде пространство основного объёма компартимента на два смежных помещения – нартекс и наос (рис. 1.3: VIII, IX; 1.49; 1.50).

Наибольшей мощности (до 0,15-0,20 м) седимент достигает у северо-западной и юго-восточной стен. По направлению к центральной оси строения он становится тоньше или полностью выклинивается (местами угол падения поверхности – около 10-15°). В структуре слоя встречаются комки глины оливкового цвета (5У. 5/4, olive), аналогичной той, которой выравнивались пустоты и швы каменной кладки перед нанесением известковой штукатурки. На стенах храма под слоем № 12а вскрыты участки известковой штукатурки, сохранившиеся *in situ* (рис. 1.26-1.35).

Основной археологический материал – фрагменты керамической кровли, тарных и кухонно-столовых сосудов IX–X вв. (рис. 3.26; 3.27: 137; 3.31: 138; 3.35: 139; 3.39: 136; 3.41: 140, 141), мелкие обломки туфа и фрагменты известковой штукатурки, угли, фаунистические находки – распределен по слою равномерно. Крупные обломки керамических изделий и отдельные индивидуальные находки (обломки стеклянных сосудов [8 ед.] [рис. 4.3: 202], кремнёвая чешуйка, раковина морского

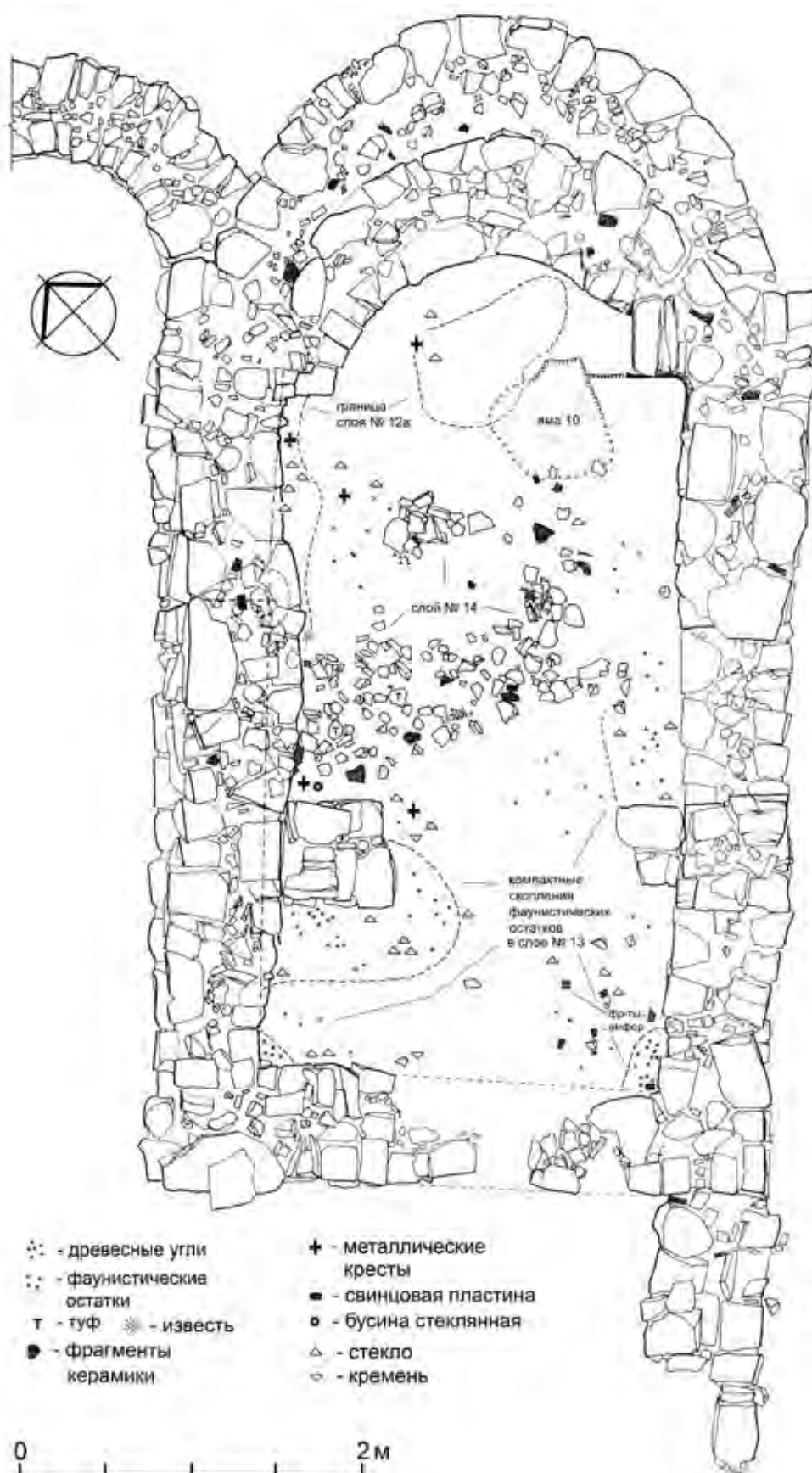


Рис. 2.28. Храм на холме Тузлук. Южный компартимент. Слои №№ 12в, 13, 14. План находок.
 Fig. 2.28. Church on the Tuzluk hill, southern part of the church, layers nos 12в, 13, 14, plan of the distribution of finds.

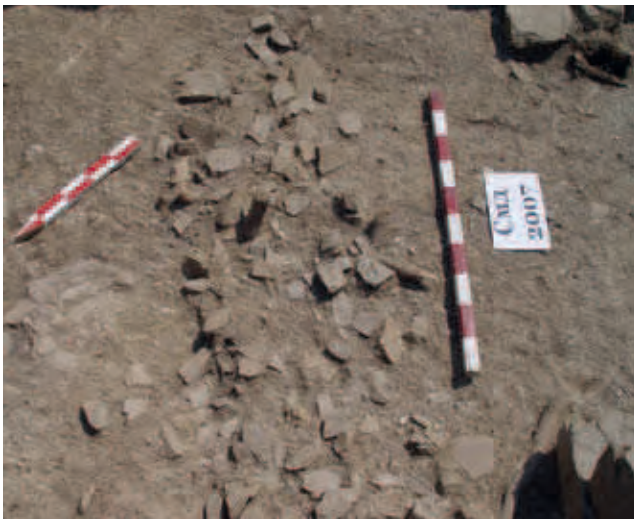


Рис. 2.29. Храм на холме Тузлук. Южный компартимент.
Квадраты 2С-D, 3С-D. Слои №№ 13 и 14.
Вид с северо-запада.

Fig. 2.29. Church on the Tuzluk hill, southern part of the church,
squares 2C-D, 3C-D, layers nos 13 and 14,
view from northwest.



Рис. 2.31. Храм на холме Тузлук. Южный компартимент.
Квадрат 3D. Слои № 13, скопление фаунистических останков.
Вид с северо-запада.

Fig. 2.31. Church on the Tuzluk hill, southern part of the church,
layer no 13, concentration of animal bones remains, view from
northwest.



Рис. 2.30. Храм на холме Тузлук. Южный компартимент.
Квадрат 3D. Слои № 13, скопление фаунистических останков.
Вид с северо-запада.

Fig. 2.30. Church on the Tuzluk hill, southern part of the church,
square 3D, layer no 13, concentration of animal bones remains,
view from northwest.

брюхоногого моллюска вида якорек *Cerithium vulgatum* с отверстием для подвешивания [рис. 6.2: 236], железная пластина и гвозди [рис. 6.1: 235, 240, 252], целые и фрагментированный металлические кресты [рис. 5.2: 239; 5.3: 238; 5.4: 237, 241; 5.6: 234]) залегают в соответствии с углом падения слоя, образуя чётко выраженную поверхность. Интересно отметить, что два креста располагались на пороге прохода из одного компартиента в другой в северо-западной стене, заложенного в третьем строительном периоде, один – в районе входного проёма с противоположной стороны (рис. 2.24-2.26; 2.40; 5.1: 211; 5.3: 238; 5.4: 237). В самом проёме в слое № 12а найден рог 4-5 месячного барана. В апсидной



Рис. 2.32. Храм на холме Тузлук. Южный компартимент. Яма
№ 10, верхняя часть заполнения. Вид с юго-запада.
Fig. 2.32. Church on the Tuzluk hill, southern part of the church,
pit no 10, upper part, view from southwest.

части зафиксирован крупный обломок днища и стенки пифоса (рис. 2.24; 2.3: 138). Вероятно, все эти предметы помещены таким образом преднамеренно.

Слой № 12а образовался после первого разрушения храма и расчистки внутреннего пространства южного компартиента, скорее всего, он связан с завершающим

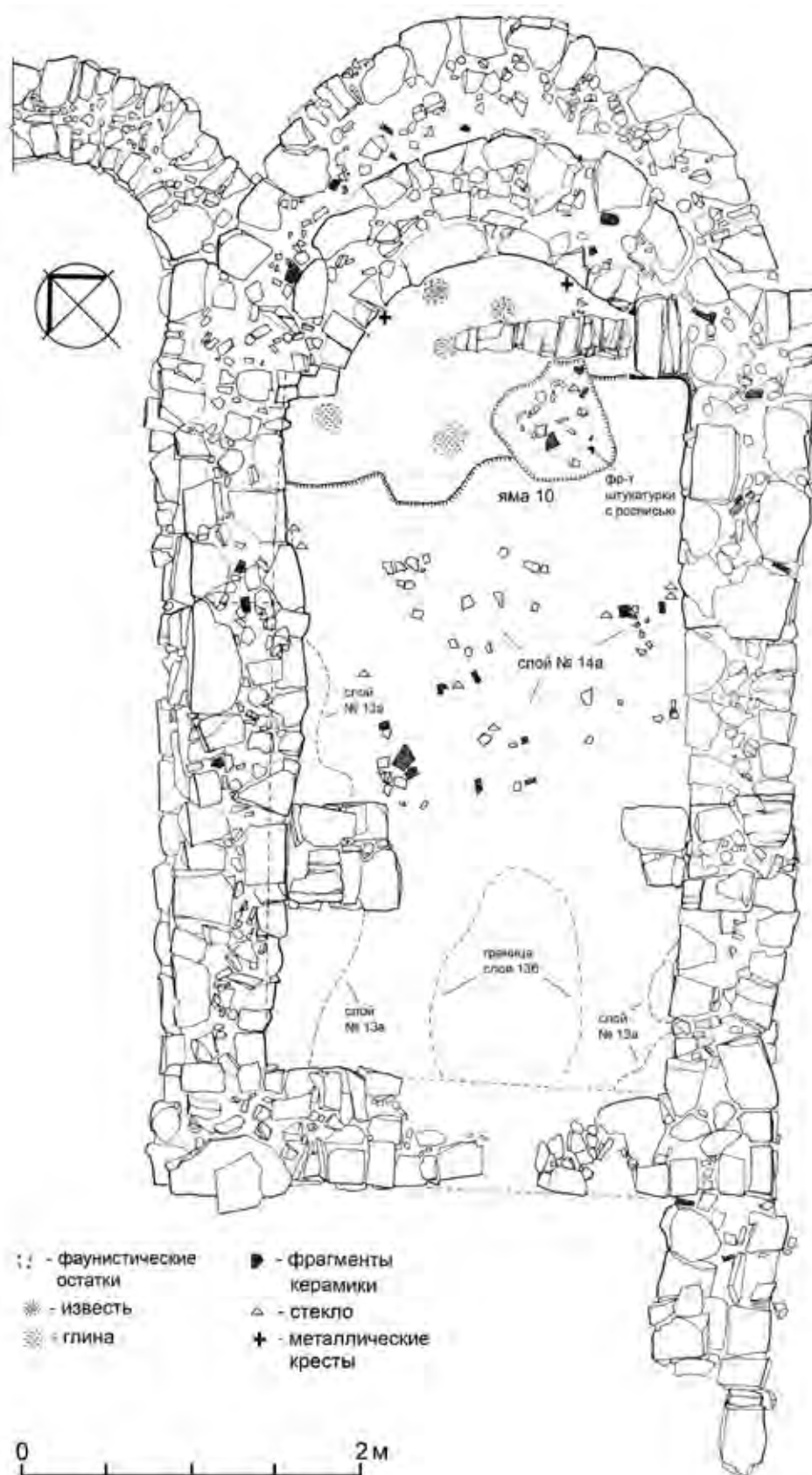


Рис. 2.33. Храм на холме Тузлук. Южный компартимент. Слой №№ 13а, 136, 14а, 146, яма № 10. План находок. Линзы извести и тонкодисперсной глины оливкового цвета в алтарной части. План.

Fig. 2.33. Church on the Tuzluk hill, southern part of the church, layers nos 13a, 136, 14a, 146, pit no 10, lenses of mortar and fine olive clay in the altar area, plan of the distribution of finds.



Рис. 2.34. Храм на холме Тузлук. Южный компартимент, апсида.
Линзы извести на поверхности материка под слоями №№ 12а-в.

Fig. 2.34. Church on the Tuzluk hill, southern apse, lenses of mortar on the surface of natural under layers nos 12a-v.

этапом реконструкции здания в третьем строительном периоде и последующим использованием его внутреннего пространства. Этот слой формирует дневную поверхность указанного строительного периода. Возможно, эти отложения отчасти служили для нивелировки поверхности пола.

Под слоем № 12а зафиксировано несколько различных культурных напластований: в апсиде и у северо-восточной части кладки № 6 – слои №№ 12б и 12в, на остальной территории – №№ 13, 14; у восточного плеча (кв. 3С) – материк и частично контур ямы № 10, впущенной в материковые отложения (рис. 2.24; 2.27; 2.28).

Слой достаточно плотного, тёмного, желтовато-коричневого грунта с крупными угольками, незначительным количеством фрагментов штукатурки и керамики (10.YR. 5/4, yellowish brown) (рис. 2.1: слой № 12б; 2.24; 2.27). Располагался вдоль кладки апсидного полукружия (кл. № 8), частично перекрыт слоем № 12а. У кладки достигает наибольшей мощности (до 0,10-0,15 м), постепенно выклинивается на расстоянии до 0,25-0,30 м от неё. Археологические находки представлены мелкими фрагментами керамики IX–X вв. и известковой штукатурки. Они распределены в слое довольно равномерно, не образуя отчётливых скоплений. На дневной поверхности отложений в кв. 2С найден обломок основания металлического креста (рис. 5.4: 242).



Рис. 2.35. Храм на холме Тузлук. Южный компартимент, апсида. Поверхность под слоем № 12б. Железный крест (№ 253) и отдельные фаунистические останки (фрагменты костей птиц). Вид с юго-запада.

Fig. 2.35. Church on the Tuzluk hill, southern apse, surface beneath layer no 12b, iron cross (no 253), and birds bones remains, view from southwest.

Слой № 12б образовался в третьем строительном периоде после реконструкции алтарного полукружия южного компартиента. Возможно, он представляет собой



Рис. 2.36. Храм на холме Тузлук. Южный компартимент после завершения раскопок. Общий вид с юго-запада.
Fig. 2.36. Church on the Tuzluk hill, southern part of the church after excavations, view from southwest.

своеобразную «отмостку» вдоль нижнего ряда камней кладки апсиды.

Сам слой залегает, в основном, на материке, сформированном материковой глиной и, частично, выходом алевролитово-аргиллитовой скалы в апсиде. Под слоем № 12б в поверхность материка втоптыты отдельные фрагменты штукатурки и мелкие обломки черепицы. Кроме того, в квв. 2С и 3С в непосредственной близости от кладки апсиды под слоем № 12б на поверхности материка найдено 2 металлических креста (рис. 2.33; 2.35; 5.4: 253; 5.5: 248) и отдельные фаунистические останки, прежде всего – фрагменты костей птичьих лап (рис. 2.33-2.35).

Слой плотного оливково-коричневого (пестроцветного) грунта с большим количеством крупных обломков штукатурки и комками глины оливкового цвета (2.5.YR. 5/3, light olive brown; 5Y. 5/4, olive) (рис. 2.1: слой 12в;

2.28). Остатки слоя зафиксированы на двух участках: в апсиде (размер в плане – 0,66×1,10 м, мощность – до 0,04 м) и вдоль северо-восточной части кладки № 6 (размер в плане – 1,50×0,24 м, мощность – не более 0,04 м) (рис. 2.28). Археологический материал представлен одним мелким обломком керамики, фрагментами стеклянных сосудов (6 ед.) (рис. 4.3: 203) и небольшими обломками ветви и основания металлических крестов (рис. 5.2: 245; 5.4: 243), крупными фрагментами известковой штукатурки. Находки залегали горизонтально, образуя выраженную поверхность. Слой № 12в образовался, вероятно, в процессе обрушения известковой штукатурки и глиняной обмазки со стен храма.

Под слоями №№ 12а, 12б и 12в в южной апсиде вскрыты материковые отложения (глины и выход скальной породы таврической серии), прослежен контур ямы № 10 и подрубки материка, отделяющей апсиду от



Рис. 2.37. Храм на холме Тузлук. Северный компартимент, квадрат 2С, слой № 2б, верхняя часть. Вид с юго-запада.

Fig. 2.37. Church on the Tuzluk hill, northern part of the church, square 2C, layer no 2b, upper part, view from southwest.

остального объёма помещения (рис. 2.33; 2.34). Здесь в поверхность материка втопнаны отдельные мелкие камни, несколько мелких фрагментов черепицы и штукатурки. Фрагментами штукатурки кое-где также были заполнены незначительные углубления в материке и

пространство между выходами скалы. Местами также зафиксированы небольшие линзы извести и тонкодисперсной глины оливкового цвета (диаметр в плане – до 0,12-0,15 м, мощность – не более 0,02 м) (рис. 2.33).

Слой плотного оливково-коричневого грунта с большим количеством мелких камней, обломками туфа и черепицы, фрагментами известковой штукатурки и крупными угольками (2.5.YR. 5/3, light olive brown) (рис. 2.1: слой № 14; 2.28; 2.29). Выявлен под слоем № 12а в центральной и северо-восточной части южного компартимента на площади около 1,50×1,80 м, примыкал к материковой подрубке. Слой № 14 заполнял небольшое понижение в полу и, вероятно, выполнял функцию нивелировочной подсыпки. Наибольшей мощности (до 0,08 см) он достигал в центре, постепенно выклинивался к краям. Археологический материал равномерно распределен по всему его профилю. Отчётливых скоплений находок не зафиксировано. В слое обнаружены фрагменты керамики (черепицы, пифоса, кухонно-столовых сосудов IX–X вв.), стенка стеклянного сосуда (рис. 4.3; 4.4: 201), мелкие обломки туфа, известковой штукатурки, фаунистические останки.

Слой плотного оливково-коричневого грунта с большим количеством костей животных, мелким делювием материковых пород, угольками, фрагментами керамики и известковой штукатурки (2.5.YR. 5/3, light olive brown) (рис. 2.1: слой № 13; 2.28; 2.30; 2.31). Залегал практически горизонтально, местами примыкал к стенам храма, по площади компартимента распределен не равномерно: наиболее ярко выражен в юго-западной ча-



Рис. 2.38. Храм на холме Тузлук. Северный компартимент, квадрат 2В, слой № 2б. Вид с юго-запада.

Fig. 2.38. Church on the Tuzluk hill, northern part of the church, square 2B, layer no 2b, view from southwest.

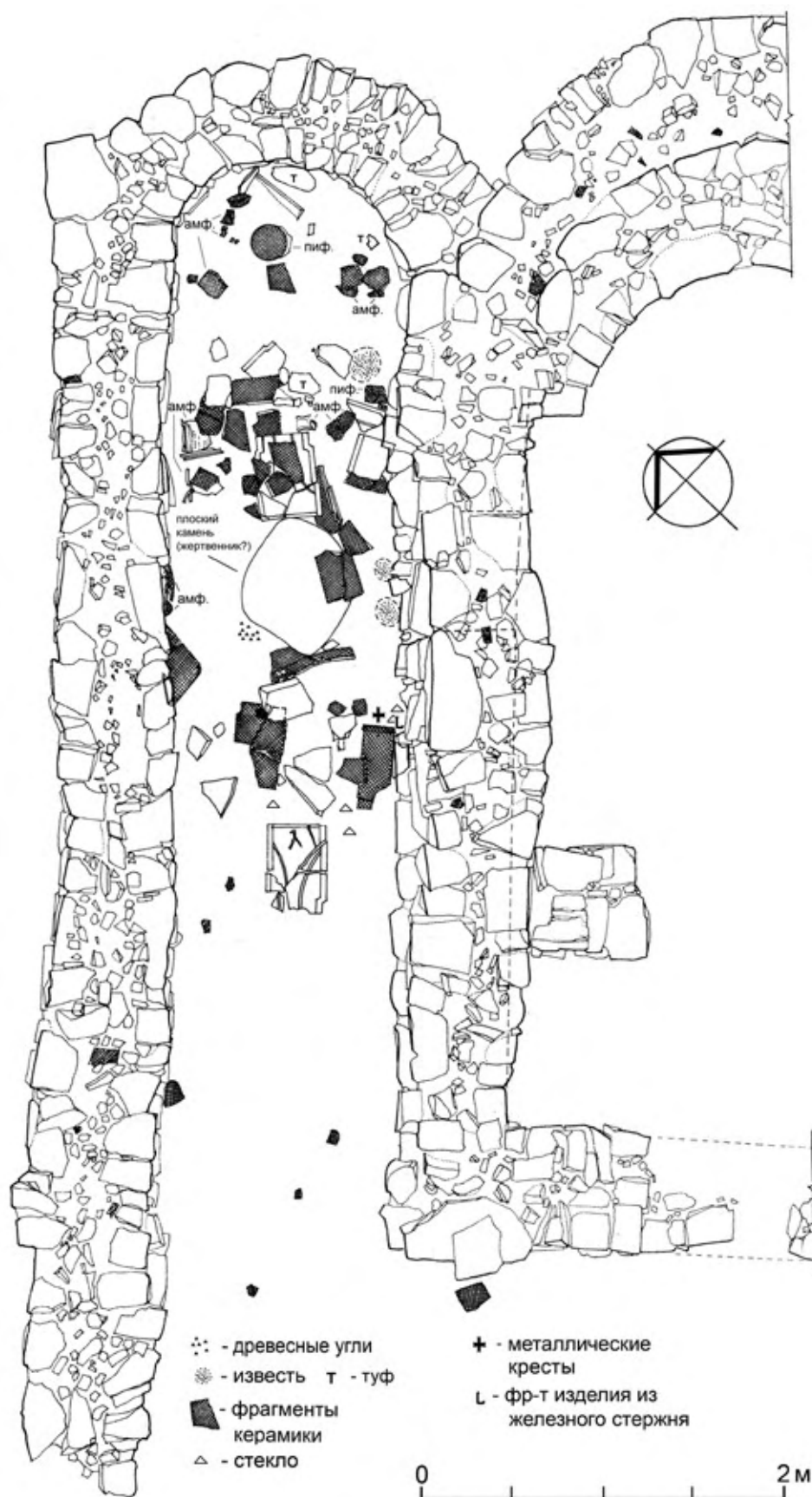


Рис. 2.39. Храм на холме Тузлук. Северный компартимент, слой № 6, верхний уровень фиксации (6-1). План находок.
 Fig. 2.39. Church on the Tuzluk hill, northern part of the church, layer no 6, upper level (6-1), plan of the distribution of finds.

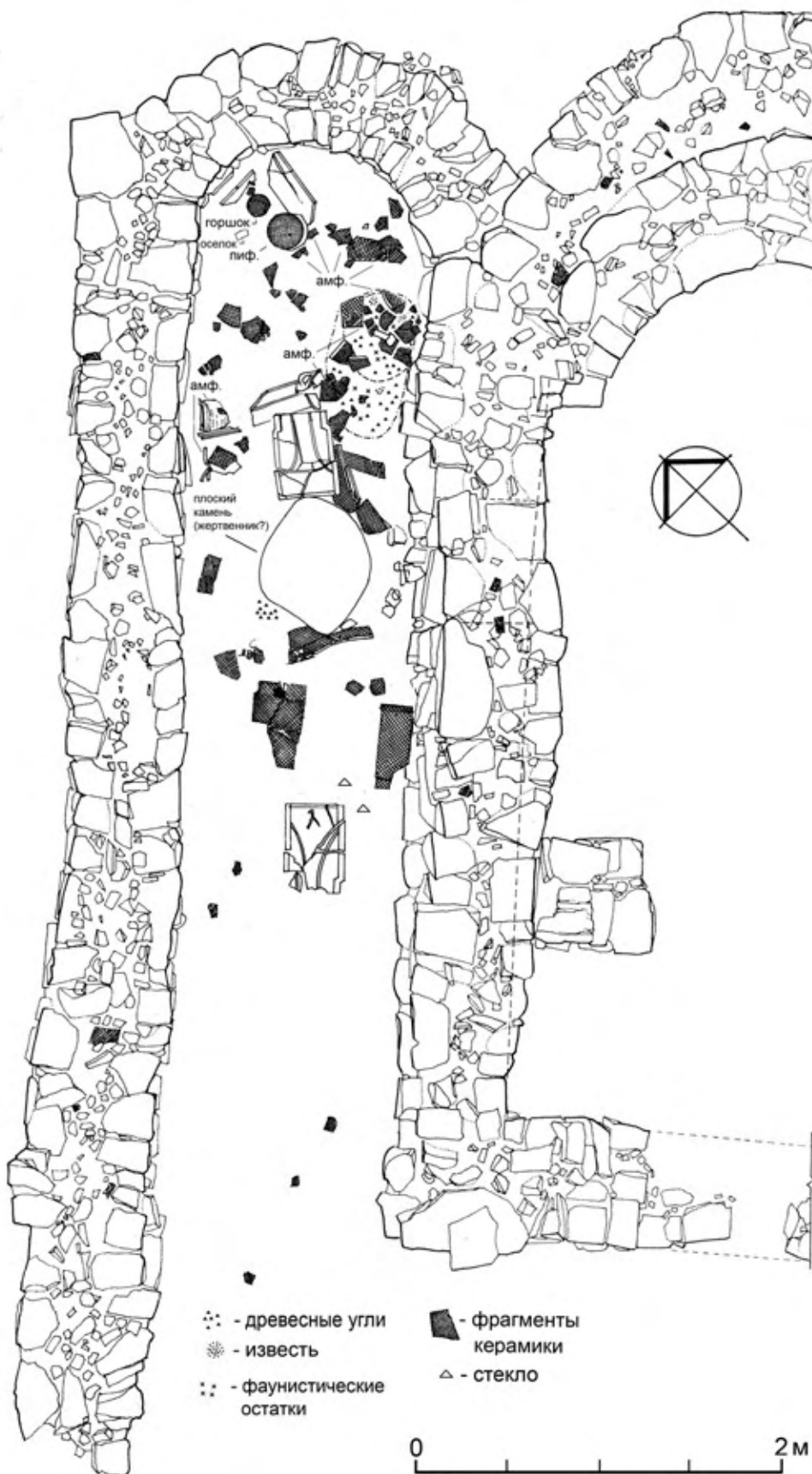


Рис. 2.40. Храм на холме Тузлук. Северный компартимент, слой № 6, средний уровень фиксации (6-2). План находок.
 Fig. 2.40. Church on the Tuzluk hill, northern part of the church, layer no 6, middle level (6-2), plan of the distribution of finds.

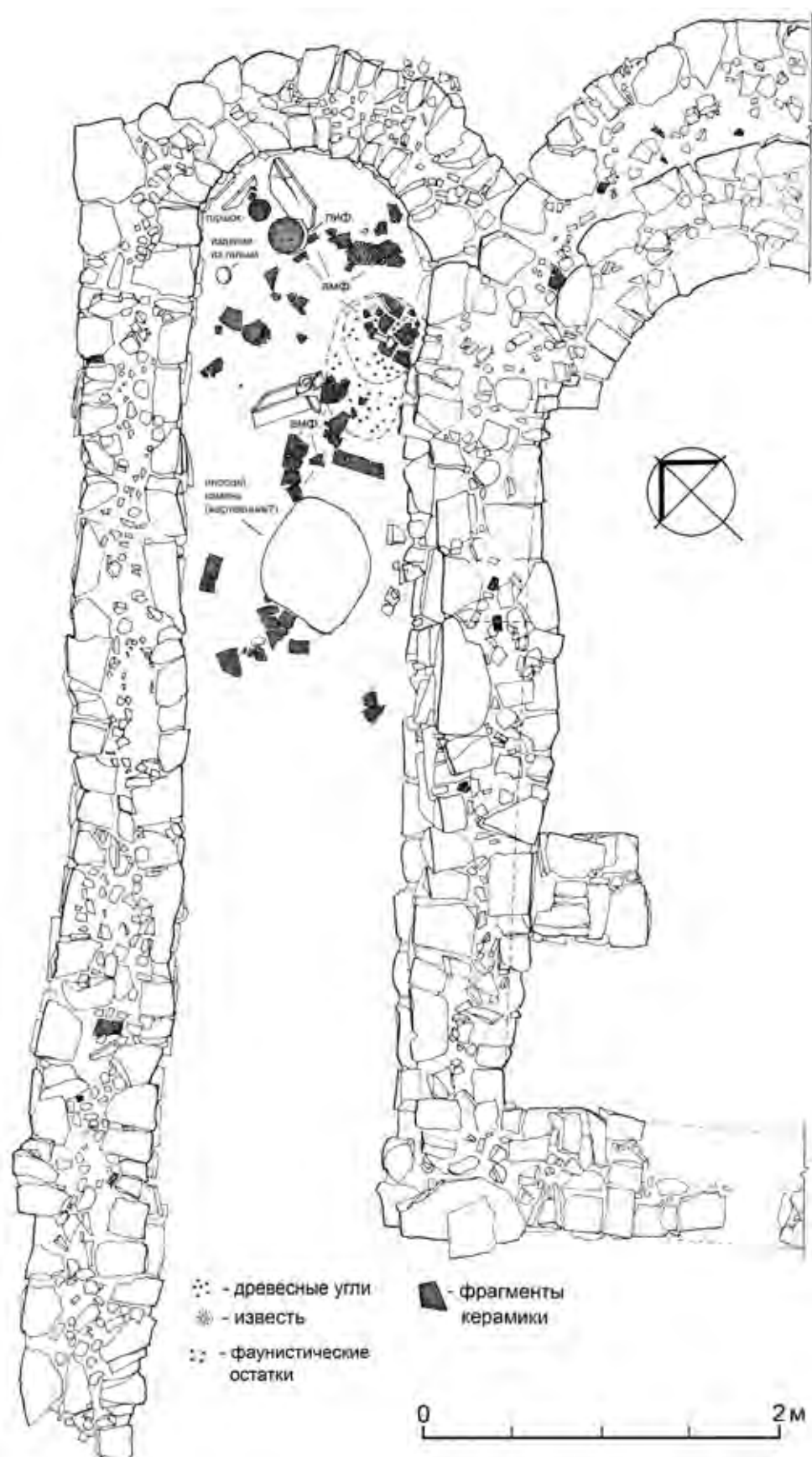


Рис. 2.41. Храм на холме Тузлук. Северный компартимент, слой № 6, нижний уровень фиксации (6-3). План находок.
Fig. 2.41. Church on the Tuzluk hill, northern part of the church, layer no 6, lower level (6-3), plan of the distribution of finds.



Рис. 2.42. Храм на холме Тузлук. Северный компартимент, квадрат 2D, слой № 6. Фрагментированная керамида с меткой (№ 47). Вид с юго-запада.

Fig. 2.42. Church on the Tuzluk hill, northern part of the church, square 2D, layer no 6, roof tile's fragment with mark (no 47), view from southwest.

сти церкви за исключением небольшого участка у кладки № 9 и в районе проёма в юго-восточной стене (кл. № 7), в центральной части помещения прорезан углублением, заполненным слоем № 14. Мощность – не более

0,04-0,05 м. Археологический материал залегают горизонтально, образуя отчётливо выраженную поверхность. В районе юго-восточного входа, в южном и западном углах помещения и у юго-западной части кладки № 6 в слое № 13 зафиксированы плотные скопления фаунистических останков, большинство которых составляют кости птиц (в том числе водоплавающих), встречаются также кости мелких рыб и млекопитающих⁵. Остальные находки составляют фрагменты черепицы, кухонно-столовой посуды IX–X вв. (рис. 3.41; 3.42: 142, 143), стеклянных сосудов (13), стеклянная бусина (рис. 6.2: 250), кремнёвые артефакты (3 ед.), обломок свинцовой пластины (рис. 6.2: 251), фрагментированные бронзовый и свинцовый кресты и крест, вырезанный из арабосасанидской полудрахмы (вторая половина VII – начало VIII в.) (рис. 5.6: 246, 247, 249).

По всей вероятности слой № 13 образовался на полу южного компартимента в один из периодов наиболее активного функционирования церковного комплекса. Ниже слоя № 13 зафиксированы пятна слоев №№ 13а, 13б, 14а, 14б (рис. 2.33), между которыми вскрыта поверхность материка.

Слой плотного оливкового глинистого грунта с боль-

⁵ Детальную характеристику останков птиц и млекопитающих см. в главах 8 и 9.



Рис. 2.43. Храм на холме Тузлук. Северный компартимент, квадрат 2С, слой № 6. Фрагменты черепицы и амфор, окатанная плита из песчаника. Вид с северо-востока.

Fig. 2.43. Church on the Tuzluk hill, northern part of the church, square 2C, layer no 6, fragments of tiles and amphorae, and rounded slab of sandstone, view from northeast.



Рис. 2.44. Храм на холме Тузлук. Северный компартимент, квадрат 2С, слой № 6. Фрагменты черепицы и амфор, окатанная плита из песчаника. Вид с юго-запада, сверху.
Fig. 2.44. Church on the Tuzluk hill, northern part of the church, square 2C, layer no 6, fragments of tiles and amphorae, and rounded slab of sandstone, view from southwest.

шим количеством мелкой известковой крошки и крошки туфа, мелким песком и угольками (5У. 5/4, olive) (рис. 2.1: слой № 13а; 2.33). Залегал небольшими пятнами на поверхности материка преимущественно у кладок №№ 6, 7 и в южном углу помещения. Протяженность слоя вдоль северо-западной стены – около 3,2 м, вдоль юго-восточной – до 0,90 м, прослежен на расстоянии не более 0,14-0,44 м от них. Мощность – около 0,02 м. На поверхности слоя в кв. 2С найдены два фрагмента стенки стеклянного сосуда.

Слой достаточно плотного оливково-коричневого грунта с мелкими фрагментами костей животных, редкими угольками, мелким делювием пород таврической сериш (2.5У. 4/3, olive brown) (рис. 2.1: слой № 13б; 2.33). Зафиксирован в юго-западной части компартимента у кладки № 9, залегал на материке, заполняя неровности его поверхности. Размер пятна культурного слоя в плане – около 0,90×1,40 м, мощность – до 0,03 м. Какие-либо артефакты в слое не обнаружены.

В центральной части южного компартимента исследована пачка культурных слоев, состоящая из трёх седиментов №№ 14а-в, заполнявших углубление в материке и, возможно, являвшихся нивелировочными подсыпками.

Слой плотного оливково-коричневого грунта с большим количеством мелкого камня, обломками черепицы, штукатурки, угольками, фрагментами костей живот-



Рис. 2.45. Храм на холме Тузлук. Северный компартимент, квадрат 2С, слой № 6, средний уровень фиксации (6-2). Керамида с меткой (№ 110), окатанная плита из песчаника. Вид с севера, сверху.

Fig. 2.45. Church on the Tuzluk hill, northern part of the church, square 2C, layer no 6, middle level (6-2), roof tile with mark (no 110), rounded slab of sandstone, view from north.

ных (2.5У. 4/3, olive brown) (рис. 2.1: слой № 14а; 2.33). Размер пятна культурного слоя в плане – около 2,0×1,5 м, мощность – до 0,08 м. Археологические находки распределены в слое относительно равномерно, не образуют отчётливых скоплений, залегают горизонтально, представлены фрагментами керамики (черепица, пифос, амфоры) IX–X вв., двумя стенками стеклянных сосудов, штукатуркой, фаунистическими останками.

Слой плотного оливково-коричневого грунта с мелкими фрагментами керамики, известковой штукатурки, угольками и отдельными мелкими фрагментами костей животных (2.5У. 4/3, olive brown) (рис. 2.1: слой № 14б). Зафиксирован под слоем № 14а, на площади около 1,4×1,2 м, мощность – не более 0,06 м. Находки распределены в слое равномерно. Археологический материал представлен фрагментами керамики (черепица, кухонно-столовых сосудов IX–X вв. [рис. 3.38: 14б; 3.41, 3.42: 14а, 14в]), известковой штукатурки, фаунистическими останками.

Слой плотного оливково-коричневого грунта с мелким камнем и фрагментами туфа, угольками и отдельными мелкими фрагментами костей животных (2.5У. 4/3, olive brown) (рис. 2.1: слой № 14в). Располагался под слоем № 14б в центральной части компартимента на площади около 0,50×0,50 м, мощность – до 0,02-0,05 м. В слое обнаружено 4 фрагмента стенок стеклянных сосудов.

СЕВЕРНЫЙ КОМПАРИМЕНТ

Внутри северного компартимента под почвой (слой № 3) исследовано 7 слоев, содержащих остатки антропогенной деятельности.

Слой плотного коричневого с оливковым оттенком грунта с большим количеством разномерных камней, крупными обломками черепицы VIII–X вв., мелкими фрагментами туфа, известковой штукатурки, незна-

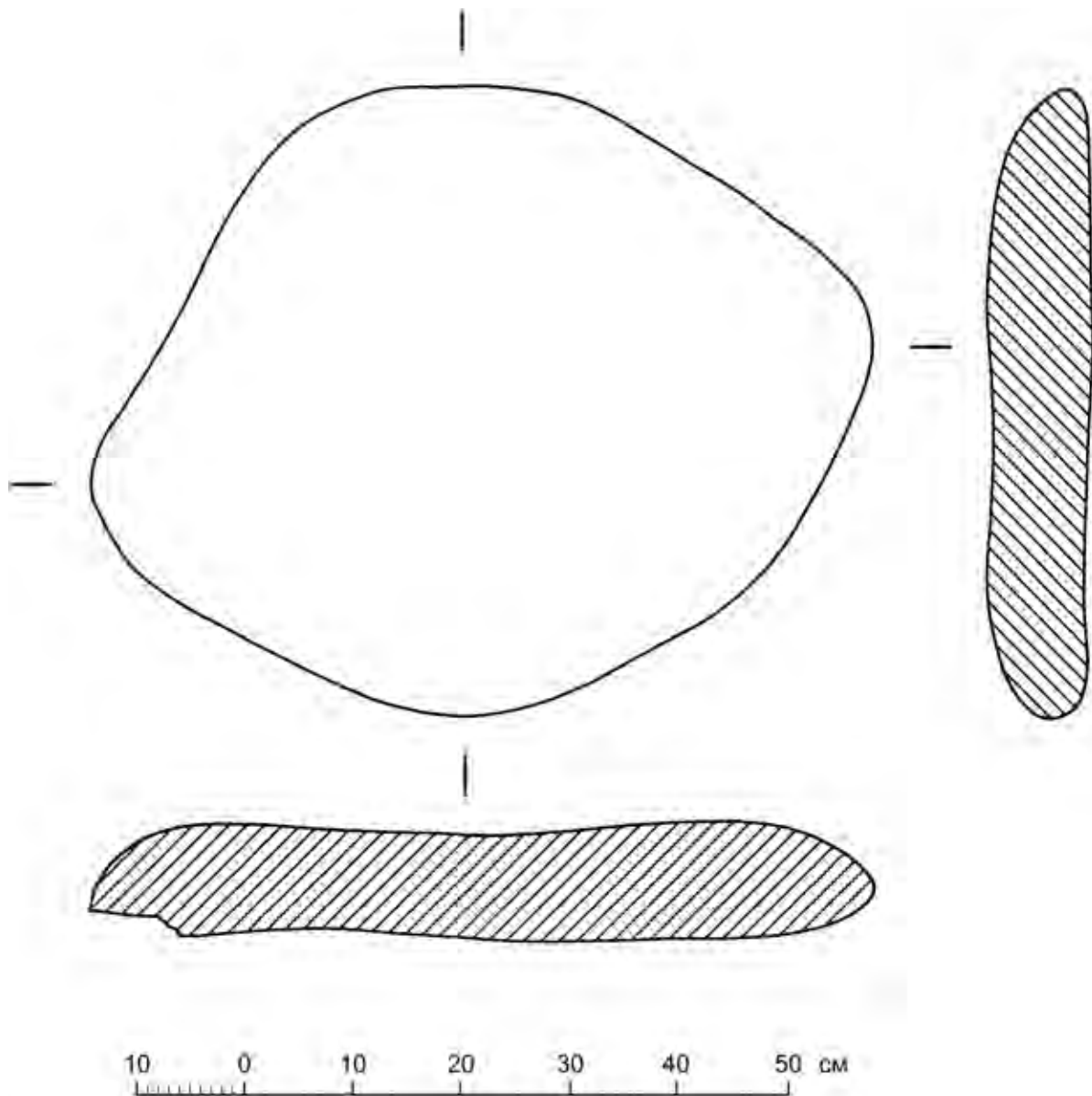


Рис. 2.46. Храм на холме Тузлук. Окатанная плита из песчаника (жертвенник?).
Fig. 2.46. Church on the Tuzluk hill, rounded slab of sandstone (prothesis?).

чительным количеством фаунистических останков (2.5У. 5/4, light olive brown) (рис. 2.1: слой № 2б; 2.14; 2.37; 2.38).

Основной объём этих отложений образован продуктами разрушения кладок строения. На большей части площади северного компартамента камни располагаются хаотично, в верхней части слоя № 2б преобладают мелкие и средние, в нижней – более крупные. Вероятно, крупные камни, лежавшие сверху, были сознательно отобраны местными жителями и перемещены для дальнейшего использования. В апсиде (кв. 2В) можно проследить некоторую упорядоченность в расположении камней: четыре из них залежали вдоль кладки полукружия, и четыре – поперек апсиды, в ряд (рис. 2.14; 2.38). Возможно, камни здесь уложены таким образом преднамеренно, с целью охранения священного места,

поскольку есть основания полагать, что в третьем строительном периоде, после превращения церкви в одноапсидную однефную постройку, северная часть храма была специально законсервирована.

Для археологических находок из этого слоя характерно как горизонтальное, так и субвертикальное залегание на ребре. Большая их часть сконцентрирована в нижней части слоя. Это обломки керамид и калиптеров (в том числе крупные [рис. 3.12; 3.13: 57]), стенка пифоса, фрагменты амфор (в том числе венчиков и ручек [рис. 3.36: 32, 34, 35]) и кухонно-столовой посуды IX–X вв. (рис. 3.38: 33), стенок стеклянных сосудов (2 ед.). Встречаются также обломки туфа и известковой штукатурки, незначительное количество фаунистических останков. В северо-восточной части кв. 2С отмечено небольшое скопление древесных углей (рис. 2.14).



Рис. 2.47. Храм на холме Тузлук. Северный компартимент, квадрат 2С, слой № 6, средний уровень фиксации (6-2).
Развал амфор. Вид с юго-востока, сверху.

Fig. 2.47. Church on the Tuzluk hill, northern part of the church, square 2C, layer no 6, middle level (6-2),
fragments of the amphorae, view from southeast.



Рис. 2.48. Храм на холме Тузлук. Северный компартимент, квадрат 2В (апсида), слой № 6, нижний уровень фиксации (6-3).
Вид с юго-запада.

Fig. 2.48. Church on the Tuzluk hill, northern part of the church, square 2B (apse), layer no 6, lower level (6-3), view from southwest.

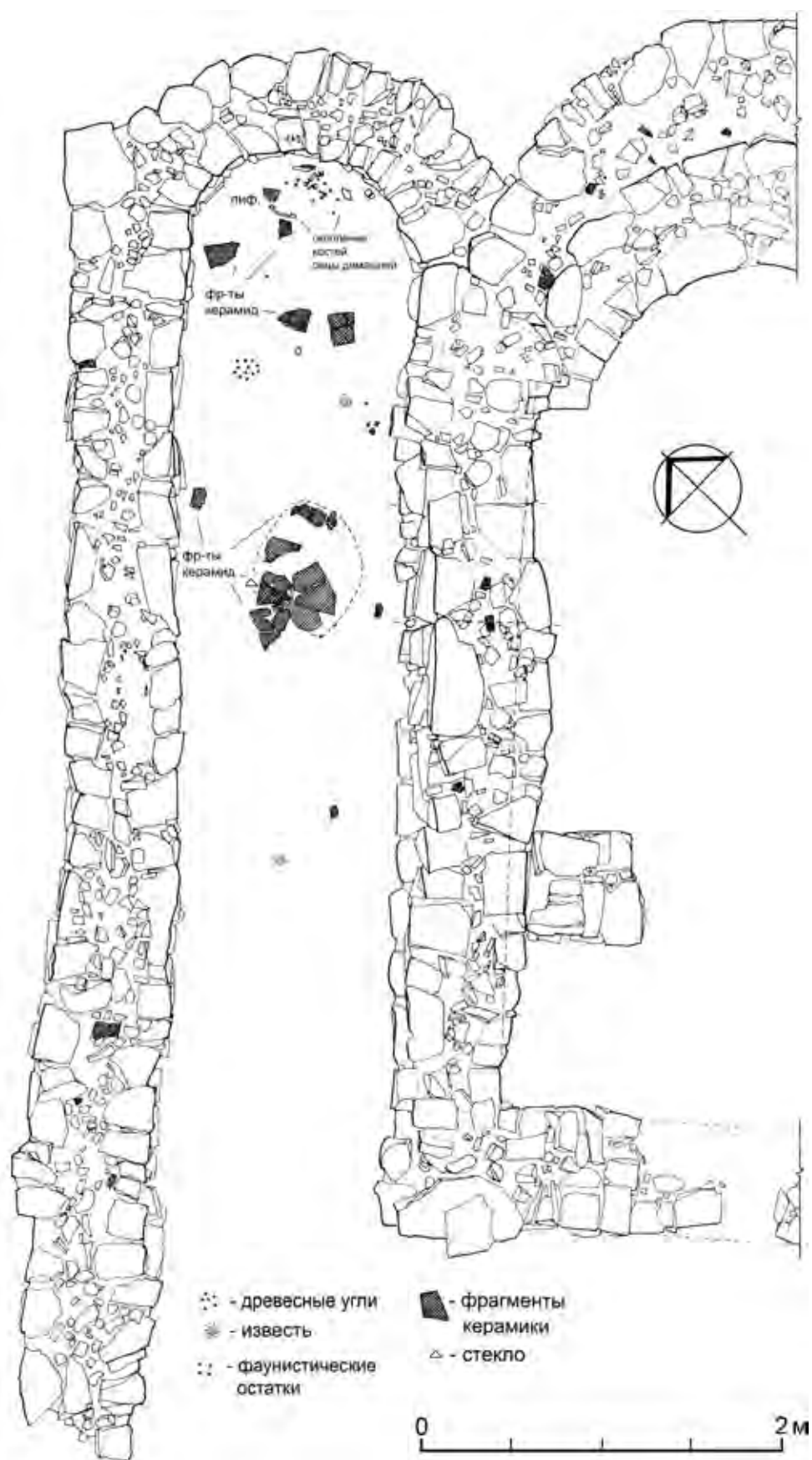


Рис. 2.49. Храм на холме Тузлук. Северный компартимент, слой № 7-1. План находок.
 Fig. 2.49. Church on the Tuzluk hill, northern part of the church, layer no 7-1, plan of the distribution of finds.



Рис. 2.50. Храм на холме Тузлук. Северный компартимент, квадраты 2С, 2D, слои №№ 6-3 и 7-1. Вид с северо-востока.
Fig. 2.50. Church on the Tuzluk hill, northern part of the church, squares 2C, 2D, layers nos 6-3 and 7-1, view from northeast.



Рис. 2.51. Храм на холме Тузлук. Северный компартимент, квадрат 2В (апсида), слои №№ 6-3 и 7-1. Артефакты и фаунистические останки в апсиде. Вид с юго-запада.
Fig. 2.51. Church on the Tuzluk hill, northern part of the church, square 2B (apse), layers nos 6-3 and 7-1, artifacts and animal bones remains in the northern apse, view from southwest.



Рис. 2.52. Храм на холме Тузлук. Северный компартимент, квадрат 2В (апсида), слой № 7-1. Скопление костей барана в апсиде. Вид с юго-запада.

Fig. 2.52. Church on the Tuzluk hill, northern part of the church, square 2B (apse), layers no 7-1, sheep animal bones in the northern apse, view from southwest.

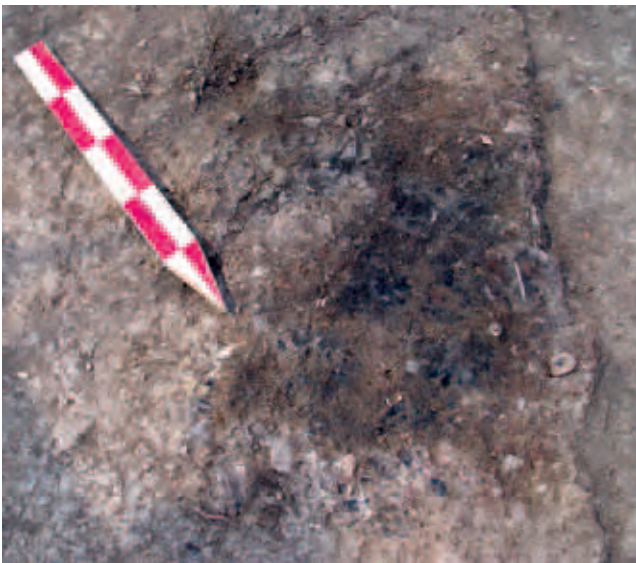


Рис. 2.53. Храм на холме Тузлук. Слой № 7. Очаг перед входом в северный компартимент. Вид с северо-востока, сверху.

Fig. 2.53. Church on the Tuzluk hill, layer no 7, hearth in front of the northern part of the church, view from northeast.

Под слоем № 2б в квв. 2Е-Д располагались отложения плотного желтовато-коричневого грунта с крупными фрагментами черепицы и обломками стенок красноглиняных сосудов, угольками (10YR. 5/4, yellowish brown), соответствующие слою № 6, изученному снаружи храма (рис. 2.1: слой № 6; 2.15; 2.16; 2.39). Мощность его в этом месте составила до 0,08 м. В кв. 2Д в слое № 6 обнаружена археологически целая керамида с меткой в виде «л» (рис. 2.39; 2.42; 3.1; 3.2: 3б). Черепица залегала горизонтально, лицевой поверхностью вверх. Она ориентирована вдоль продольной оси здания.

К северо-востоку, в квв. 2С и 2В, структура слоя № 6 усложняется. Здесь он представляет собой пачку отложений, условно разделённую на 3 уровня фиксации (рис. 2.1: слои №№ 6-1, 6-2, 6-3; 2.39-2.41; 2.43-2.47), сформирован более рыхлым седиментом и плотно насыщен археологическими находками. В слое зафиксированы линзы глинистого грунта, возможно, от обрушившейся глиняной обмазки стен (рис. 2.1: слой № 3в), компактные скопления древесных углей, отдельные камни средних размеров, фрагменты туфа и известковой штукатурки (рис. 2.39-2.41; 2.43-2.48). Штукатурка концентрируется, в основном, у кладки № 6, в районе проёма. Возможно, стены вокруг проёма и внутри него были оштукатурены известью. Вблизи южного входа отмечены два скопления древесных углей. Одно из них,



Рис. 2.54. Храм на холме Тузлук. Слой № 7. Очаг перед входом в северный компартимент, разрез. Вид с юго-востока.
Fig. 2.54. Church on the Tuzluk hill, layer no 7, hearth in front of the northern part of the church, view from southeast.

небольшое (размер в плане – 0,08×0,10 м), располагалось на расстоянии около 0,80 м к северо-западу от «западного» откоса, второе, более значительное (размер в плане – около 0,35×0,65 м) зафиксировано примерно в 0,30 м к северо-востоку от «восточного» откоса проёма (рис. 2.40). Здесь угли залежали под фрагментами амфор и частично между ними. Вероятно, в этом месте находился небольшой открытый очаг. Под углями грунт прокалён на глубину до 0,03 м.

Напротив входа, на расстоянии около 0,28 м от него, обнаружена массивная окатанная плита из мелкоструктурного песчаника (?) (рис. 2.39-2.41; 2.43-2.46). Плита по форме близка к ромбу со скруглёнными углами. Она залегала плашмя по центру компартимента и была ориентирована продольной диагональю вдоль центральной оси храма. Горизонтальное положение плиты зафиксировано специальной вымосткой из фрагментов керамид (рис. 2.49-2.50). Размеры плиты 10,5×72,5×58,5 см, вес – 75 кг (Приложение 5)⁶.

⁶ О возможном назначении плиты см. главу 14.



Рис. 2.55. Храм на холме Тузлук. Северный компартимент после завершения раскопок. Общий вид с юго-запада.
Fig. 2.55. Church on the Tuzluk hill, northern part of the church after excavations, view from southwest.



Рис. 2.56. Храм на холме Тузлук. Восточный борт раскопа (разрез по линии 7–15), ямы 1-4. Вид с запада.
Fig. 2.56. Church on the Tuzluk hill, eastern part of the excavation (section 7–15), pits nos 1-4, view from west.

Другие находки в слое залежали как субвертикально, так и горизонтально, образуя в нижней части отложенной отчётливо выраженную поверхность. Среди них преобладают крупные обломки черепицы (керамид и калиптеров) VIII–X вв. (рис. 3.1; 3.3: 120; 3.4; 3.5: 110; 3.6; 3.7: 112; 3.12; 3.13: 111; 3.14; 3.15: 113; 3.16; 3.17; 3.20: 104, 115, 121; 3.21; 3.22: 114, 116; 3.26; 3.28: 117) и амфор IX–X вв. (три из которых частично реконструированы) (рис. 3.34; 3.35; 3.37: 107-109, 118). Представлены также фрагменты венчика, днища и стенок пифоса VIII–X вв. (рис. 3.31: 105), днище горшка (рис. 3.39: 106) и фрагмент трубчатого слива (от воронки?) (рис. 3.36: 119), обломки стеклянных сосудов (11 ед.) (рис. 4.3; 4.4: 158/2, 159, 199), оселок (рис. 6.3; 6.4: 82) и поперечный скол округлой гальки (рис. 6.3; 6.4: 84), фаунистические останки (преимущественно кости млекопитающих). Примерно в 0,40 м к юго-западу от прохода в юго-восточной стене (кл. № 6), в непосредственной близости от неё найдены фрагменты металлического креста и четырехгранного стержня, изогнутого крюком (звено цепи?) (рис. 5.5: 211; 6.1: 212).

Расположение и состав артефактов в слое № 6 (6-1–6-3) свидетельствуют об их одновременной археологизации в результате обрушения кровли и архитектурных конструкций северного компартимента, а также о том, что после руинирования постройки внутреннее пространство северного компартимента, в отличие от южного, не расчищалось. Была разобрана только верхняя часть завала. На уровне 2-3-х рядов кладки стен продукты их разрушения в виде отдельных камней и глинистого грунта были равномерно распределены по внутреннему пространству северного компартимента, нижняя

часть заполнения осталась ненарушенной. В таком виде объект просуществовал до начала исследования, превратившись в закрытый археологический комплекс хорошей сохранности.

Три нижележащих слоя формируют различные уровни пола внутри северного компартимента.

Слой плотного оливково-коричневого грунта с большим количеством фрагментов костей животных, угольками, незначительным количеством фрагментов керамики, обломками известковой штукатурки (2.5У.



Рис. 2.57. Храм на холме Тузлук. Ямы №№ 6 и 8. Вид с северо-запада.
Fig. 2.57. Church on the Tuzluk hill, pits nos 6 and 8, view from northwest.



Рис. 2.58. Храм на холме Тузлук. Яма № 7.
Вид с северо-запада.

Fig. 2.58. Church on the Tuzluk hill, pit no 7,
view from northwest.



Рис. 2.59. Храм на холме Тузлук. Яма № 2, слой № 6 в
верхней части заполнения. Вид с запада.

Fig. 2.59. Church on the Tuzluk hill, pit no 2, layer no 6 in the
upper part of the pit, view from west.

5/3, light olive brown) (рис. 2.1: *слой № 7-1*; 2.49-2.52). Прослежен в кв. 2В-D и северо-восточной части кв. 2Е. Залегает горизонтально. Мощность слоя – до 0,04-0,06 м, выклинивается к юго-западу. В поверхность слоя втоптанно несколько крупных обломков черепицы и стенки пифоса, фрагменты известковой штукатурки,



Рис. 2.60. Храм на холме Тузлук. Яма № 2, слой № 6,
керамида и калиптер *in situ*. Вид с востока.

Fig. 2.60. Church on the Tuzluk hill, pit no 2, layer no 6, roof tile
and kalypter *in situ*, view from east.

угольки. Несколько фрагментированных керамид компактно залежали напротив южного входа и, вероятно, выполняли функцию нивелировочной вымостки под каменной плитой (рис. 2.49; 2.50). Отдельные разрозненные фрагменты зафиксированы в северной апсиде (рис. 2.49; 2.51). В самом слое археологические находки не многочисленны, довольно равномерно распределены по всему профилю. Среди них мелкие фрагменты керамики IX–X вв., два обломка стенок стеклянных сосудов, известковой штукатурки, угольки, фаунистические останки. Повышенная концентрация фрагментов известковой штукатурки отмечена у юго-восточной стены (кл. № 6). Кроме того, в апсиде зафиксировано скопление костей черепа барана с элементами посткраниального скелета (рис. 2.51; 2.52), вероятно, остатки жертвоприношения и/или общинной трапезы.

Слой плотного коричневого грунта с угольками, мелкими фрагментами известковой штукатурки, туфа, мелкими обломками костей животных и створками морских моллюсков (2.5У. 5/3, light olive brown) (рис. 2.1: *слой № 7-2*). Прослежен в кв. 2В-D. Залегает горизонтально. Мощность слоя – до 0,04-0,07 м, выклинивается к юго-западу. Археологические находки (мелкие фрагменты керамических сосудов, туфа, известковой штукатурки, фаунистические останки) равномерно распределены по профилю слоя, не образуют отчётливых скоплений.

Слой № 7-2 в кв. 2В и северо-восточной части кв. 2С залегал на поверхности материка, на остальной территории его подстилал *слой № 7*, характеристика которого приведена выше. В юго-западной части северного компартимента *слой № 7* достигал мощности 0,08 м, постепенно выклинивался к северо-востоку (рис. 2.1; 2.2: *слой № 7*; 2.17). Здесь, как уже отмечалось, в нем встречаются мелкие и средние камни (4 – средних, 24 – мелких), на поверхности зафиксированы 2 очажные линзы (№№ 2, 3) (рис. 2.17; 2.53; 2.54). Археологические находки (мелкие фрагменты стенок керамических



Рис. 2.61. Храм на холме Тузлук. Могила № 1, плиты перекрытия, верхний ряд. Вид с юго-востока.
Fig. 2.61. Church on the Tuzluk hill, grave no 1, slabs setting, upper row, view from southeast.



Рис. 2.62. Храм на холме Тузлук. Могила № 1, плиты перекрытия, нижний ряд. Вид с юго-востока.
Fig. 2.62. Church on the Tuzluk hill, grave no 1, slabs setting, low row, view from southeast.



Рис. 2.63. Храм на холме Тузлук. Могила № 1, ярус 1.
Вид с северо-востока.

Fig. 2.63. Church on the Tuzluk hill, grave no 1, horizon no 1,
view from northeast.

и стеклянных [6 ед.] сосудов, мелкие фрагменты костей животных) распределены довольно равномерно и не образуют отчётливых скоплений. В северном компартименте слой № 7 залегает на материке, заполняя неровности в его поверхности.

К другим археологическим объектам, связанным с храмом, относятся погребальный комплекс (могила № 1) (рис. 1.1; 2.59-2.69), а также 10 ям различного назначения (рис. 1.1; 2.2; 2.56-2.58).

Могила № 1 (рис. 2.59-2.69). Располагалась в 2,1 м к востоку от южной апсиды храма. Ориентирована по линии З-В с незначительным (не более 5°) отклонением к югу. Представляет собой грунтовую яму подпрямоугольной в плане формы с заплечиками внизу, обрамляющими овальное углубление погребальной камеры. Размер сооружения по верхнему контуру – 2,24×1,05 м, по нижнему – 0,65-0,69×1,75 м, высота заплечиков – до 0,35 м, общая глубина – 1,07-1,10 м от синхронной захоронению дневной поверхности.



Рис. 2.64. Храм на холме Тузлук. Могила № 1, ярус 2.
Вид с северо-востока.

Fig. 2.64. Church on the Tuzluk hill, grave no 1, horizon no 2,
view from northeast.

Могила впущена в литологические отложения трёх видов: плотный коричневый глинистый грунт (предматериковый) с делювием пород таврической серии; алевролит-аргиллитовую скалу; коричневый грунт с мелким делювием материковых пород и древесными угольками, представляющий собой культурный слой (№ 20), заполнявший более раннюю яму. Западная часть могилы № 1 примерно на 0,6-0,7 м врезана в эту яму. Заполнение углубления оказалось довольно рыхлым, из-за чего западная стенка могилы на уровне погребений была дополнительно укреплена отдельными камнями, вероятно, для более надёжной фиксации плит перекрытия, опиравшихся на грунтовые заплечики (рис. 2.66).

Перекрытие могилы зафиксировано на глубине 0,70-0,95 м от современной и примерно в 0,6-0,8 м от синхронной захоронению дневной поверхности, состояло из восьми плит (аргиллит), в западной части уложенных в два ряда (рис. 2.61; 2.62; 2.66). Щели между



Рис. 2.65. Храм на холме Тузлук. Могила № 1, ярус 2, западная часть. Вид с юго-востока.
Fig. 2.65. Church on the Tuzluk hill, grave no 1, horizon no 2, western part, view from southeast.

ними заполнены мелким камнем. Размер плит в плане – 0,49-0,63×0,3-0,39 м, толщина – 0,07-0,12 м. У северо-восточной оконечности перекрытия располагались 2 крупных обломка черепицы (керамиды и калиптеры) (рис. 2.61; 2.66).

На дне могилы расчищены остатки двух nepотревоженных погребений, залегавших в 2 яруса. Один костяк располагался строго над другим без разделяющих прослоек (рис. 2.63; 2.66). Сохранность черепов и костей постраниального скелета плохая.

Ярус 1 (рис. 2.63; 2.66). Погребённый – взрослый мужчина⁷. Костяк в анатомическом порядке. Положение туловища горизонтальное, вытянутое, дорсальное, головой на запад. Лицевая часть черепа ориентирована на восток, ноги выпрямлены, колени сдвинуты, стопы упираются в восточный борт могильной ямы, наклонены друг к другу. Руки согнуты в локтях, скрещены в области живота, левая кисть расположена под костями правого предплечья. Погребальный инвентарь не обнаружен.

Ярус 2 (рис. 2.64-2.66). Погребённый – взрослый мужчина. Костяк в анатомическом порядке. Положение туловища горизонтальное, вытянутое, дорсальное, головой на запад, лицом на восток. С юга от черепной

коробки был помещён небольшой камень (известняк), предназначенный, вероятно, для устойчивой фиксации головы погребённого. Ноги выпрямлены, колени сдвинуты, стопы упираются в восточный борт могильной ямы, наклонены друг к другу. Левая рука вытянута вдоль тела, отдельные кости пальцев зафиксированы на левом бедре. Правая рука слегка согнута в локте, кисть расположена в области паха. В погребении найдены две бронзовые шаровидные пуговицы-подвески. Эти предметы обнаружены в области левой и правой ключиц погребённого (рис. 2.65; 2.66). Вероятно, они составляли элементы его одежды. Сохранность предметов плохая, частично восстановлена только одна пуговица (рис. 6.2: 254).

Заполнение погребального комплекса двухслойное. Над плитами располагался *плотный оливково-коричневый грунт с угольками, фрагментами керамики, фаунистическими останками* (слой № 18). Археологические находки залегали здесь как горизонтально, так и субвертикально. Среди них – фрагменты черепицы (в том числе с меткой [рис. 3.14: 148]), амфор и плоскодонных гончарных сосудов закрытой формы (рис. 3.34: 127; 3.35: 149; 3.41: 151), отдельные обломки костей животных и створки морских моллюсков, незначительное количество деструктированного известкового раствора и мелких обломков туфа (преимущественно вверху, в западной части заполнения), пережжённый фрагмент кремнёвого нуклеуса.

⁷ Анализ антропологических материалов выполнен ст.н.с. НМЗХТ антропологом к.и.н. А.В. Ивановым. Из-за очень плохой сохранности черепов и костяков точный возраст погребённых определить не удалось.

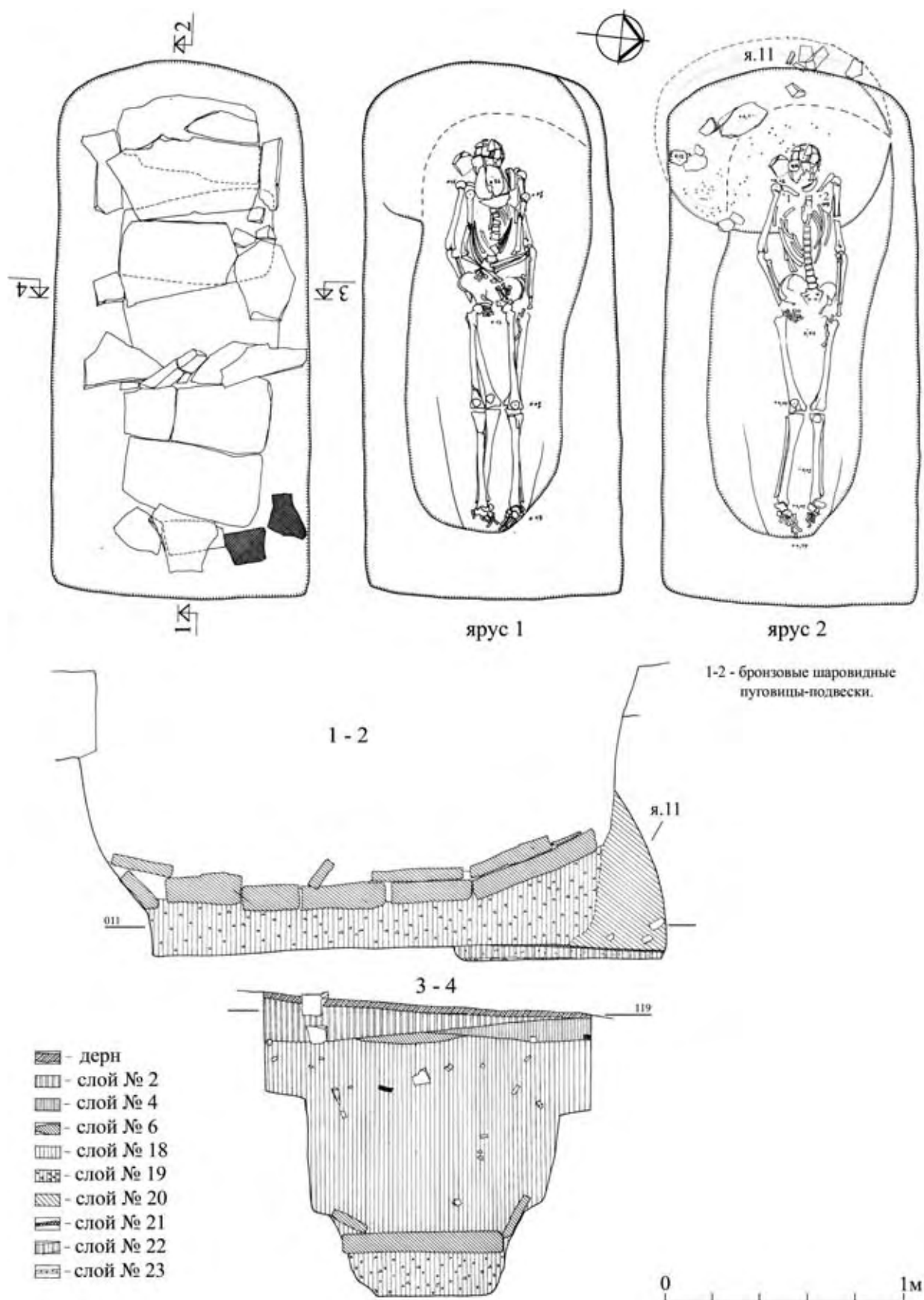


Рис. 2.66. Храм на холме Тузлук. Могила № 1. Планы, разрезы.
 Fig. 2.66. Church on the Tuzluk hill, grave no 1, plans and sections.



Рис. 2.67. Храм на холме Тузлук. Могила № 1, погребальное сооружение. Яма № 11. Вид с северо-востока.
Fig. 2.67. Church on the Tuzluk hill, grave no 1, burial structure, pit no 11, view from northeast.



Рис. 2.69. Храм на холме Тузлук. Могила № 1 и яма № 11 после удаления заполнения. Вид с северо-востока.
Fig. 2.69. Church on the Tuzluk hill, grave no 1 and the pit no 11 after excavations, view from northeast.



Рис. 2.68. Храм на холме Тузлук. Яма № 11. Фрагментированный лепной горшок на дне ямы. Вид с северо-востока.

Fig. 2.68. Church on the Tuzluk hill, pit no 11, fragments of hand-made pottery on the bottom of the pit, view from northeast.

В погребальной камере под плитами над останками погребённых вскрыт *плотный коричневый глинистый грунт с большим количеством дресвы материковых пород (аргиллит)* (слой № 19). Какие-либо артефакты и фаунистические находки в нем не зафиксированы.

Погребения, скорее всего, были совершены во втором строительном периоде в промежутке между окончанием постройки первоначального храма и его первым разрушением. Захоронение могло сопровождаться обрядами, следы которых, возможно, зафиксированы в заполнении могильной ямы в виде угольков, обожжённого кремня, фрагментов амфор, плоскодонных сосудов, костей животных и створок моллюсков, которые могли быть остатками поминального костра и тризны⁸. В заполнении ямы найден также строительный мусор – разрушенный известковый раствор, фрагменты туфа и черепицы.

Ямы

Различного рода углубления, связанные с храмом,

⁸ Сравнимые элементы обряда зафиксированы при исследовании некрополя предшествующего времени, расположенного ниже по склону.

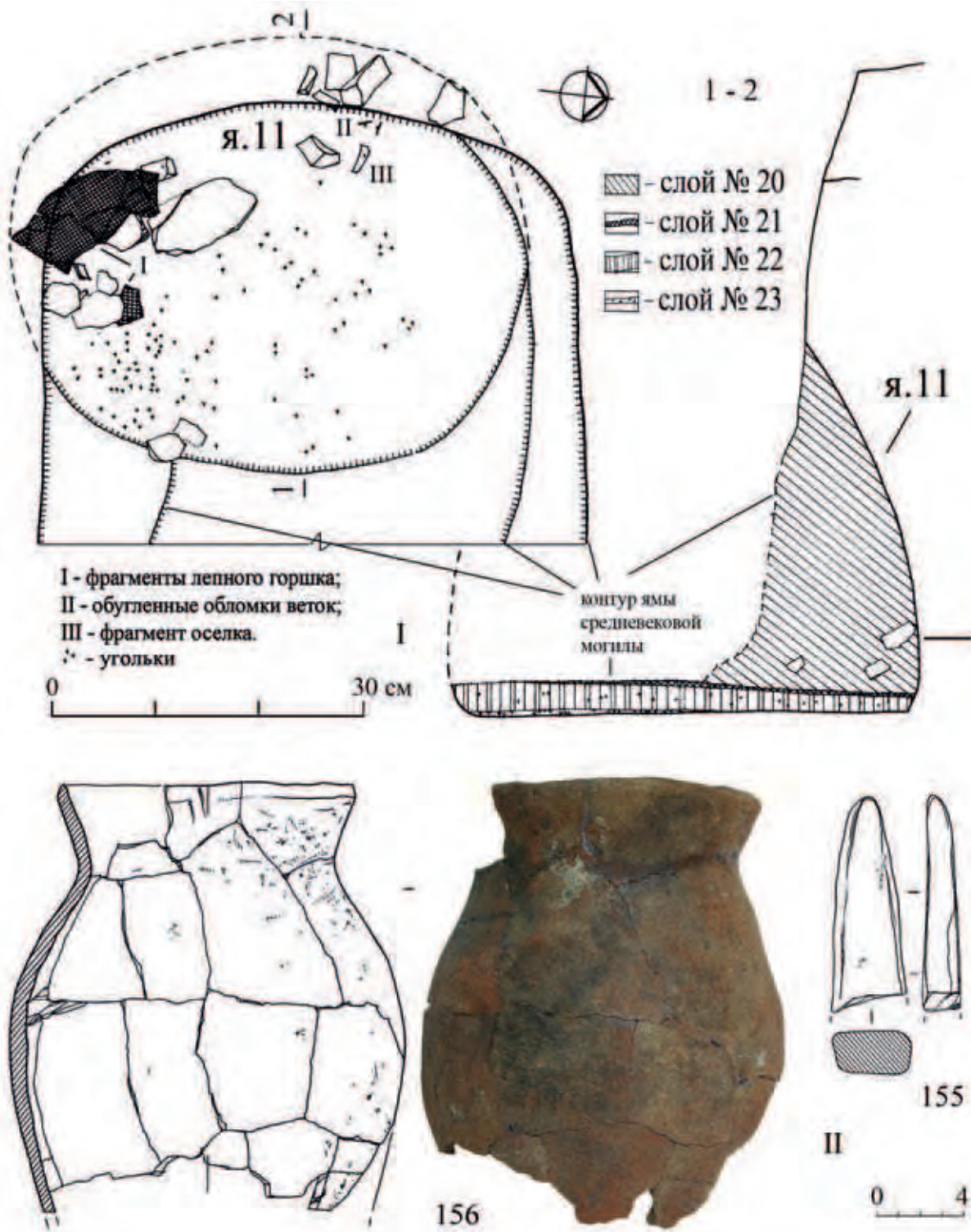


Рис. 2.70. Холм Тузлук. Яма эпохи бронзы (№ 11). I – план, разрез. II – лепной горшок и оселок из заполнения.
 Fig. 2.70. Tuzluk hill, pit of the Bronze Age (no 11). I - plan and section. II – hand-made pottery and touchstone from inside.

обнаружены, в основном, в восточной и юго-восточной части исследованной территории.

Яма 1 выявлена в восточном углу кв. 4С (рис. 1.1; 2.2: разрез 15–8; 2.56). Углубление овальной в плане формы, ориентировано по линии СЗ–ЮВ, с пологими бортами, его ЮЗ часть находится за пределами раскопа.

Размеры исследованной части – 0,28×0,36 м, глубина – 0,11 м. Впущена с поверхности слоя № 7. Заполнена рыхлым тёмно-коричневым грунтом (10.YR. 4/3 brown) с угольками, фрагментами костей животных, мелкими обломками черепицы. В центральной части углубления зафиксирован крупный обломок калиптера, располо-



Рис. 2.71. Храм на холме Тузлук. Северо-восточная часть раскопа. Могила № 1, яма № 11 (на переднем плане), южная апсида храма и культовый комплекс эпохи бронзы (на заднем плане). Вид с юго-востока.

Fig. 2.71. Church on the Tuzluk hill, northeastern part of the excavation, grave no 1, pit no 11 on the front, southern apse and sacral complex of the Bronze Age at the background, view from southeast.

женный вертикально. Назначение ямы не ясно.

Яма 2 открыта в кв. 4В над западной частью могилы № 1 (рис. 1.1; 2.2: *разрез 15–8*; 2.56). Углубление округлой в плане формы с пологими бортами. Диаметр в верхней части – около 0,90-1,00 м, глубина – 0,15 м. Заполнена материалами культурного слоя № 6.

Яма 3 исследована в южной части кв. 4В (рис. 1.1; 2.2: *разрез 15–8*; 2.56). Прорезана ямой № 2, размеры, очертания и назначение углубления не ясны. Прослежена в глубину – до 0,10 м. Заполнена плотным коричневым грунтом с мелким делювием материковых пород и угольками.

Яма 4 открыта в южной части кв. 4В (рис. 1.1; 2.2: *разрез 15–8*; 2.56). Углубление овальной в плане формы, ориентировано по линии З–В, с пологими бортами, его восточная часть находится за пределами раскопа. Размеры исследованной части – 0,20×0,24 м, глубина – 0,12 м. Впущена с поверхности слоя № 7. Заполнена достаточно плотным коричневым грунтом с мелким делювием материковых пород и угольками. Назначение углубления не ясно.

Яма 5 обнаружена в ЮВ части кв. 4С (рис. 1.1). Углубление округлой в плане формы с вертикальными бортами и округлым дном, возможно, предназначалось для установки столба. Диаметр – около 0,22 м, глубина – 0,10 м. Центр ямы расположен на расстоянии около

1,90 м от восточного плеча храма. Прослежена с поверхности слоя № 7. Заполнена достаточно рыхлым коричневым грунтом с мелким делювием материковых пород, угольками.

Яма 6 исследована в южной части кв. 4С (рис. 1.1; 2.57). Углубление округлой в плане формы с вертикальными бортами и округлым дном, возможно, предназначалось для установки столба. Диаметр – около 0,17-0,19 см, глубина – 0,18 м. Центр ямы расположен на расстоянии 1,86 м от юго-восточной стены храма (кл. № 7). Впущена с поверхности слоя № 7. Заполнена рыхлым коричневым грунтом с мелким делювием материковых пород, угольками, мелкими фрагментами керамики и костей животных, деструктурированным известковым раствором.

Яма 7 обнаружена в южной части кв. 4В (рис. 1.1; 2.1: *разрез 11–10*; 2.58). Углубление округлой в плане формы с вертикальными бортами. Размер в плане – около 0,26×0,30 м, глубина – около 0,28 м. Центр ямы расположен на расстоянии 1,78 м от юго-восточной стены храма (кл. № 7). Заполнена рыхлым коричневым грунтом с большим количеством древесного тлена, мелкими фрагментами известковой штукатурки и керамики. В верхней части заполнения найден один обломок кремня. Яма прослежена под слоем № 5. В нижней части её продолжают два канала диаметром

около 0,05-0,08 м, заполненные древесным тленом (рис. 2.58). Вероятно, все эти углубления образованы стволом и корнями дерева, которое было снесено до начала формирования слоя № 5.

Яма 8 исследована частично в южном углу кв. 4С (рис. 1.1; 2.2: *разрез 15-8*; 2.57). Углубление округлой в плане формы, стенки полукруглые, дно скруглённое, центр ямы расположен на расстоянии около 2,50 м от юго-восточной стены храма (кл. 7). Диаметр в верхней части – около 1,00 м, глубина – около 0,75 м. Впущена с поверхности слоя № 7в. Заполнение однородное: достаточно плотный коричневый грунт с мелким делювием материковых пород, мелкой галькой, отдельными фрагментами известковой штукатурки и одним мелким осколком черепицы VIII-X вв. Предназначалась, вероятно, для установки пифоса. Сосуд мог использоваться в качестве ёмкости для воды, возможно, при строительстве храма. По завершении строительных работ пифос, видимо, был изъят со своего места, а углубление засыпано грунтом и перекрыто слоем, образовавшимся вследствие нивелировки поверхности по окончании строительства двухапсидной церкви.

Яма 9 обнаружена в южном углу исследованной части кв. 4Е (рис. 1.1). Углубление округлой в плане формы с вертикальными бортами и округлым дном, возможно, предназначалось для установки столба. Диаметр – около 0,22 м, впущена в материк на глубину около 0,06-0,08 м. Центр ямы расположен на расстоянии 2,25 м от юго-

восточной стены храма (кл. № 7). Прослежена под слоем № 5. Заполнена рыхлым коричневым грунтом с угольками и деструктурированным известковым раствором. Здесь же найден один кремнёвый отщеп с ретушью.

Яма 10 выявлена в южном секторе южной апсиды, в кв. 3С. Она впущена в материк (рис. 1.1; 2.32-2.34). Её центр отстоит примерно на 1,0 м к югу от центра апсидного полукружия и на 0,43 м к западу от восточного плеча компартиментов. Углубление в плане близко к неправильному пятиграннику с разновеликими сторонами и скруглёнными углами, слегка заужено ко дну, стенки прямые. Размер в плане по верхнему контуру – 0,60×0,76 м, глубина – около 0,35 м. Заполнение однородное – достаточно плотный коричневый грунт с мелким камнем, угольками, фрагментами керамики (мелкие обломки черепицы, стенка сосуда закрытой формы) (слой № 14г), отдельными обломками туфа, значительным количеством костей животных. В верхней части заполнения ямы найдены 2 фрагмента венчиков стеклянных сосудов. Примечательно, что обломки этих же сосудов обнаружены в слоях №№ 5 и 12 (рис. 4.3; 4.4: 201, 173).

В целом, исследованные слои и объекты антропогенного происхождения можно разделить на девять групп, отражающих различные этапы в жизни храмового комплекса. Их соотношение с выделенными строительными периодами продемонстрировано в таблице 1 (см. стр.112 настоящего издания).



Рис. 2.72. Храм на холме Тузлук. Южная апсида. Культурное сооружение эпохи бронзы, каменная насыпь. Вид с севера.
Fig. 2.72. Church on the Tuzluk hill, southern apse, sacral complex of the Bronze Age, mound with stone setting, view from north.



Рис. 2.73. Храм на холме Тузлук. Культовое сооружение эпохи бронзы. Каменная насыпь, разрез. Антропоморфная плита. Вид с северо-запада.

Fig. 2.73. Church on the Tuzluk hill, sacral complex of the Bronze Age, section of mound with stone setting, anthropomorphic flagstone, view from northwest.



Рис. 2.74. Храм на холме Тузлук. Культовое сооружение эпохи бронзы. Каменная насыпь, разрез. Антропоморфная плита. Вид с юго-запада.

Fig. 2.74. Church on the Tuzluk hill, sacral complex of the Bronze Age, section of mound with stone setting, anthropomorphic flagstone, view from southwest.



Рис. 2.75. Храм на холме Тузлук. Культовое сооружение эпохи бронзы. Нижняя часть заполнения. Каменные глыбы, установленные вертикально. Антропоморфная плита. Вид с северо-востока.
Fig. 2.75. Church on the Tuzluk hill, sacral complex of the Bronze Age, low part. Blocks of vertically stone setting, anthropomorphic flagstone, view from northeast.



Рис. 2.76. Храм на холме Тузлук. Южная апсида храма. Культовое сооружение эпохи бронзы. Каменные глыбы, установленные вертикально на дне ямы. Вид с северо-востока.
Fig. 2.76. Church on the Tuzluk hill, southern apse of the church, sacral complex of the Bronze Age. Blocks of vertically stone setting on the bottom of the pit, view from northeast.



Рис. 2.77. Храм на холме Тузлук. Южная апсида храма. Культовое сооружение эпохи бронзы после удаления заполнения. Вид с северо-востока.

Fig. 2.77. Church on the Tuzluk hill, southern apse of the church, sacral complex of the Bronze Age after excavations, view from northeast.

Таблица 1.

Строительные периоды	Группы слоев	№№ слоев, объекты
I-II	I (возведение двухапсидного храма)	7, 7в, 7-2, яма № 8
	II (освящение храма)	7а, 7б, очаги 1-3
	III (первый этап функционирования)	13, 13а, 13б, 14а-г, яма № 10, 7-1, 6-3 (частично), могила № 1, ямы №№ 1-4
	IV (первое разрушение)	6, 6-1, 6-2, 6-3 (частично), 3в, 2б, 12в
III	V (реконструкция южного компартимента)	12 а, 12 б, 14, 3а(?), ямы №№ 5-7, 9
	VI (второй этап функционирования)	5, 5а, 5б
	VII (второе разрушение)	3 (частично), 4, 12
IV	VIII (использование руин)	9-11
	IX (окончательное разрушение остатков стен)	1, 2

Горизонт II

Ко второму хронологическому горизонту отнесены археологические объекты, располагавшиеся ниже средневековых культурных отложений: остатки культового сооружения и хозяйственной ямы. Объекты расположе-

ны в 2,4 м друг от друга и в разной степени повреждены при сооружении средневекового храма и синхронной ему могилы № 1 (рис. 2.1; 2.2; 2.66-2.78).

КУЛЬТОВОЕ СООРУЖЕНИЕ

Этот объект обнаружен в северо-восточной части раскопа на границах кв. 2А, 2В, 3А, 3В, частично перекрыт кладкой апсиды южного компартимента (кл. № 5) (рис. 1.1: яма 12; рис. 2.1: разрез 1-2; 2.72-2.78). Представляет собой впущенную в материк грунтовую яму, верхняя часть которой заполнена камнями разной величины (в основном местный аргиллит), коричневым грунтом и мелкой галькой, видимо, образовывала выделяющуюся в рельефе небольшую курганообразную насыпь (рис. 2.72-2.74; 2.78). Ко времени исследования объект возвышался над поверхностью материка не более чем на 0,05-0,08 м. Его вершина, видимо, была разобрана при подготовке площадки под строительство христианского храма. Сохранившаяся часть каменной насыпи в плане овальная (1,90×1,50 м), вытянута по линии СЗ-ЮВ, мощностью до 0,35 м. В её центральной и восточной частях найдено три кремнёвых артефакта (рис. 2.79).

Яма под насыпью в плане подтрапециевидная со скруглёнными углами (1,40×1,90 м, общая глубина – до 0,30-0,40 м), ориентирована по линии СЗ-ЮВ (отклонение направления продольной оси от меридионального – не более 15°) (рис. 2.78). Её стенки покатые, их профиль усложнён уступом (высота – до 0,80-0,12

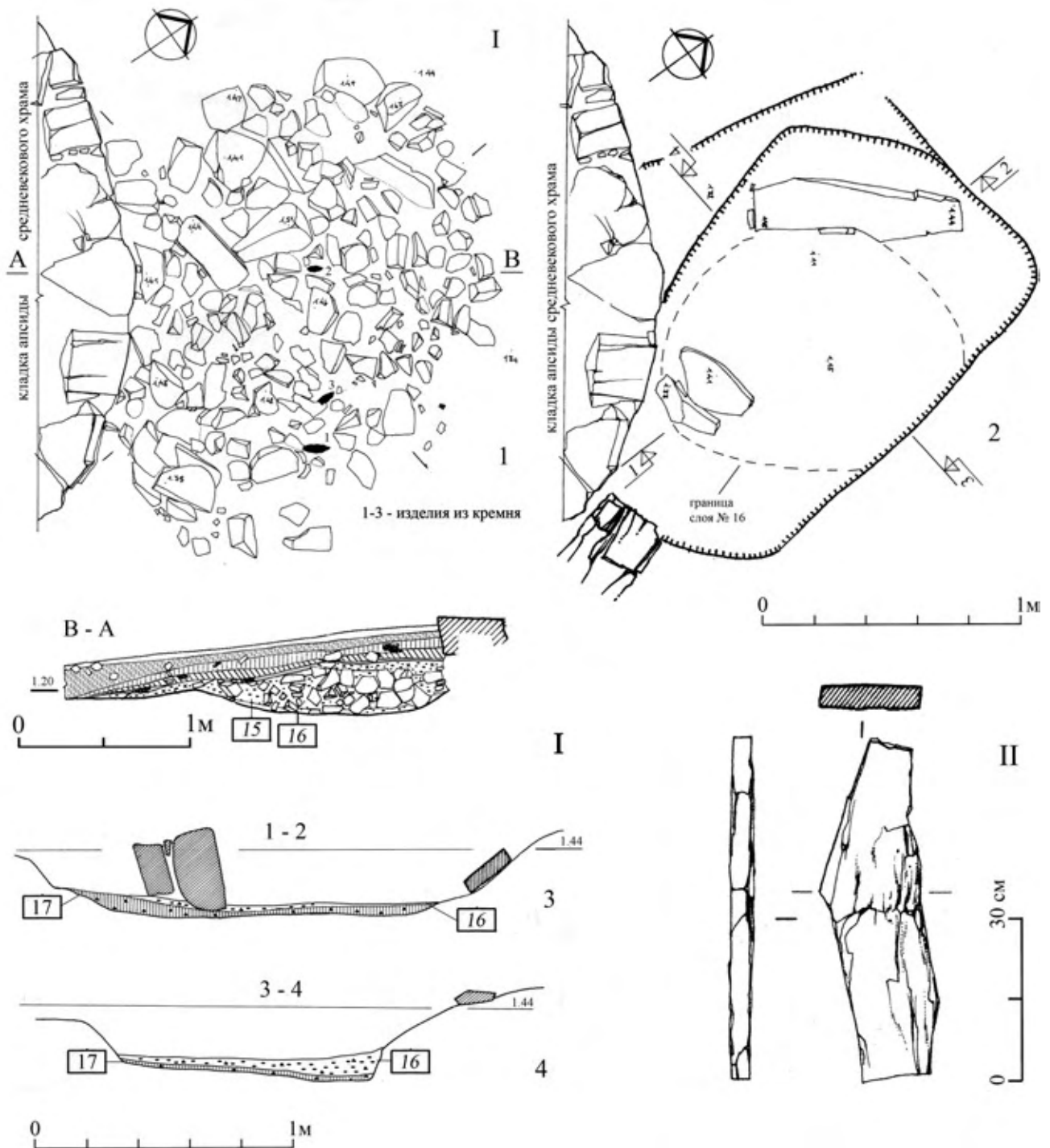


Рис. 2.78. Культурное сооружение эпохи бронзы на холме Тузлук. I – план и разрезы каменной насыпи (1), план и разрезы ямы с вертикально установленными камнями и антропоморфной плитой (2-4); II – антропоморфная плита.

Fig. 2.78. Sacral complex of the Bronze Age at the top of the hill Tuzluk. I – plan and sections of mound with stone setting, plan and sections of the pit with vertically stone setting and anthropomorphic flagstone (2-4); II – anthropomorphic flagstone.

м), обрамляющим округлое дополнительное углубление в центре (диаметр – около 1,30 м) (рис. 2.78: I). В его южной части зафиксированы два установленных субвертикально (на узкие грани), примыкающих друг к другу широкими поверхностями, уплощённых камня (рис. 2.76; 2.78: I). Один из них – глыба конгломерата

(размер $0,32 \times 0,35 \times 0,17$ м), обращенная к ССЗ. Второй – блок аргиллита, подпирающий глыбу с ЮВ. У северо-северо-западного края углубления располагалась стелообразная плита местного песчаника (размер $0,27 \times 0,85$ м, толщина – около 0,06 м), общие очертания которой с определённой долей условности могут

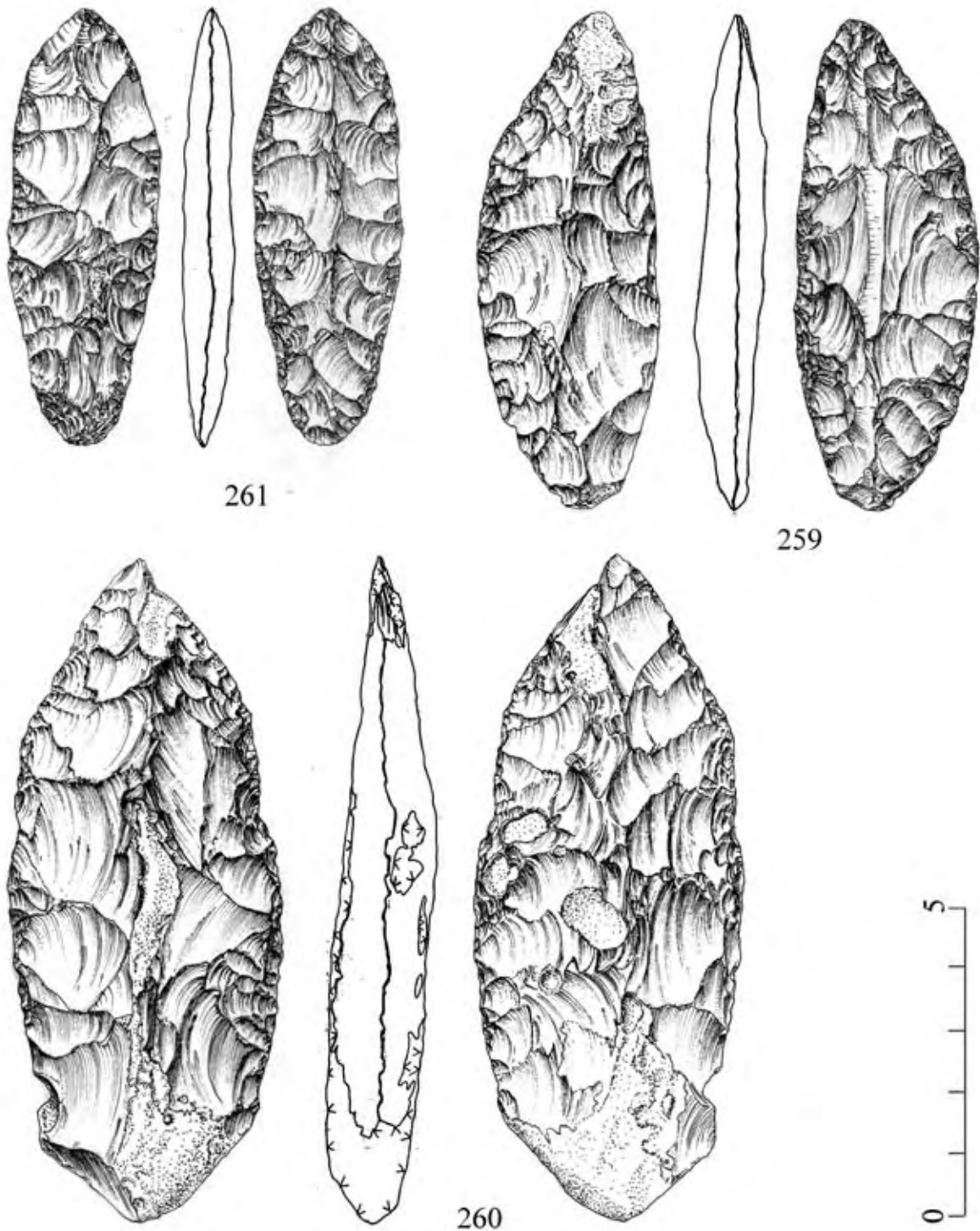


Рис. 2.79. Культовое сооружение эпохи бронзы на холме Тузлук. Кремнёвые артефакты из заполнения комплекса: 261 – листовидный наконечник, 259 – сегментовидный серп бондарихинского типа; 260 – заготовка двухстороннего орудия.
 Fig. 2.79. Sacral complex of the Bronze Age at the top of the hill Tuzluk. Flint artifacts found within complex: 261 – leaf-shaped bifacial point; 259 – Bondarikha type bifacial sickle; 260 – preform of bifacial tool.

восприниматься как антропоморфные (рис. 2.73-75; 2.78: II). Она залегала плашмя на стенке ямы, была ориентирована по направлению ЮЗ–СВ⁹.

⁹ Не исключено, что упомянутые крупные камни предназначались для фиксации основания стеловидной плиты, которая, возможно, изначально была установлена вертикально.

Заполнение ямы под насыпью двухслойное. Насыпь подстилал *плотный желтовато-коричневый грунт с большим количеством мелкой гальки, угольками и мелкими фрагментами костей животных*, без артефактов (10.YR. 5/4 yellowish brown) (рис. 2.1; 2.2: слой № 16; 2.78: I). Мощность – до 0,10 м. Ниже, на дне ямы, вскрыт

плотный оливково-коричневый грунт с мелкими угольками (2.5У. 5/4 – light olive brown) (рис. 2.1; 2.2: *слой № 17*; 2.78: *1*). Мощность слоя – до 0,05 м. Какой-либо археологический и антропологический материал в нем не обнаружен. Однозначно определить функциональное назначение объекта сложно. Возможно, он представлял собой специфический погребально-поминальный/меморативный комплекс (кенотаф) или святилище, созданное по особому случаю и использовавшееся в течение короткого промежутка времени, а затем преднамеренно законсервированное («погребённое»).

О хронологической позиции сооружения можно судить по найденным при его исследовании технологически близким изделиям из кремня. Это два двусторонних орудия (вкладыш серпа бондарихинского типа и листовидный наконечник), а также заготовка двустороннего орудия (рис. 2.79: 259-261)¹⁰. На территории Донецкого бассейна вкладыши серпов бондарихинского типа датируются XII–X вв. до н. э. (Колесник, Гершкович 2001).

Хозяйственная яма

Второй изученный объект горизонта II выявлен юго-восточнее культового сооружения в кв. 4В (рис. 1.1: *яма II*; 2.71). Это остатки впущенной в «материк» хозяйственной ямы. Большая её часть разрушена в эпоху средневековья при устройстве могилы № 1. Зафиксированы дно и юго-западная половина бортов сооружения (рис. 2.66-2.69; 2.70: *1, яма II*). Яма, видимо, колоколовидная, с плоским горизонтальным овальным в плане дном (0,81×0,98 м). Её общая предполагаемая глубина – около 1 м (сохранившейся части – до 0,70-0,80 м).

Заполнение четырехслойное (рис. 2.66; 2.70: *1*). Основной его объём составлял *достаточно плотный коричневый грунт с делювием материковых пород, мелкой морской или речной галькой, древесными угольками* (слой № 20). Его подстилал *слой плотного коричневого грунта с большим количеством древесных углей (в том числе фрагментов обугленных веток длиной до 0,05 м) и частичек глины, прокаленных до кирпично-красного цвета* (слой № 21), мощность – около 0,01-0,02 м, залегал практически горизонтально. В нём, в южной части сооружения, обнаружен фрагментированный лепной горшок и обломок оселка (рис. 2.70). Ниже располагались отложения *плотного тёмно-коричневого грунта с большим количеством мелкого и среднего делювия пород таврической сериш, угольками* (слой № 22), мощность – до 0,05 м. У западной окраины ямы в слое найден один обломок стенки красноглиняного лепного горшка. Под слоем № 22, на скальном дне углубления, зафиксировано *большое количество древесных углей и комочков глины, прокаленных до кирпично-красного цвета* (слой № 23), мощность – не более 0,01 м. Два слоя угольков с обожжённой глиной (№№ 21 и 23), вероятно, свидетельствуют о том, что сооружение периодически (по крайней мере, дважды) обжигалось изнутри.

Датировку ямы определяет находка лепного горшка, форма которого восстановлена примерно на $\frac{3}{4}$ (рис. 2.70: 156). Тулово сосуда оваловидных очертаний с максимальным расширением чуть выше середины высоты. Горло невысокое, в виде раструба, венчик прямой, слегка заужен к краю, внешняя поверхность заглажена. Черепок плотный, на изломе от приглушённого красного до чёрного цвета. Обжиг неравномерный. В глиняном тесте примеси мелкой и средней дресвы аржиллитов и кварцитов, мелкозернистый песок (в т.ч. чёрный), включения рыхлого минерала белого цвета (известняк). Сосуд изготовлен в технике ленточного налёпа. Диаметр венчика – 15 см. Сохранившаяся высота корпуса – 20,5 см. По определению ст.н.с. ИА НАНУ к.и.н. Я.П. Гершковича, горшок датируется эпохой поздней бронзы (XII–X вв. до н.э.).

Некоторое представление об относительной хронологии изученных объектов дает сопоставление особенностей состава связанных с ними культурных напластований. Так, наличие в заполнении хозяйственной ямы мелкой гальки, подобной обнаруженной в заполнении культового сооружения, видимо свидетельствует о том, что её прекратили использовать уже после его обустройства. Насколько эти события отдалены друг от друга во времени, судить сложно.

Исследованный на холме Тузлух археологический комплекс эпохи поздней бронзы – один из немногих документированных объектов такого рода в Южной части Горного Крыма. Памятники этого периода в регионе до сего времени малоизвестны и практически не изучены (см. напр.: Колотухин 1996: 20-21; 2003: 12, 27).

РЕЗУЛЬТАТЫ СТРАТИГРАФИЧЕСКИХ ИССЛЕДОВАНИЙ

Анализ структуры культурных отложений позволяет предложить следующий вариант реконструкции антропогенной деятельности на исследованном участке памятника.

К наиболее ранним остаткам, связанным с человеческой активностью на вершине холма Тузлух, относятся два объекта эпохи поздней бронзы. Один из них представляет собой культовое сооружение, вероятно, специфический погребально-поминальный/меморативный комплекс (кенотаф) или святилище, созданное по особому случаю и использовавшееся в течение короткого промежутка времени, а затем преднамеренно законсервированное («погребённое»). Второй – хозяйственную яму, как минимум дважды обожжённую изнутри, с остатками лепного горшка и обломком оселка в заполнении. Возможно, её функционирование каким-то образом связано со «святилищем». По крайней мере, яму прекратили использовать после его обустройства.

Исследованная территория повторно привлекает к себе внимание человека на финальном этапе раннего средневековья, когда здесь возводится двухапсидная церковь. Сложно судить о том, какими соображениями руководствовались её основатели в выборе места

¹⁰ Определение д.и.н. В.П. Чабая. Детальная характеристика изделий приведена в Приложении 7.

для строительства¹¹. Также затруднительно определить, преднамеренно или случайно храм возводится на месте культового сооружения более ранней эпохи.

В любом случае, вполне возможно, что строители церкви не оставили без внимания каменную насыпь и, очевидно, преднамеренно водрузили на неё центральные камни апсиды южного компартимента.

В истории храма можно выделить несколько этапов.

1. Подготовка площадки для строительства, включавшая нивелировку вершины холма, сопровождавшуюся снятием дерна, верхнего слоя почвы (слой № 3б) и рассредоточением верхней части каменной насыпи кургана, в результате чего образовался слой № 7в.

2. Обустройство котлована под строительство южного компартимента и ямы для установки пифоса (№ 8). Выбранный грунт, вероятно, использовался для замеса кладочного раствора.

3. Возведение южного компартимента и отделка его интерьера (линзы извести и тонкодисперсной глины оливкового цвета в алтарной части южного компартимента и, возможно, слой № 13а).

4. Обустройство котлована для пристройки северного компартимента, в кладках которого были использованы фрагменты черепицы и аморфные обломки туфа, оставшиеся от строительных работ в южной части церкви.

5. Удаление пифоса из ямы № 8, её засыпка, распределение остатков грунта, выбранного из котлованов, по дневной поверхности вокруг храма и внутри северного компартимента с целью благоустройства территории (слой № 7).

6. Освящение храма, сопровождавшееся возжжением огня с внешней стороны южного и северного входов в южный компартимент и западного входа в северный компартимент (очаги №№ 1-3, слой № 7а), а также, вероятно, жертвоприношениями и общинной трапезой (слой № 7б – снаружи храма, возможно, слой № 7-1 – в северной апсиде).

7. Функционирование двухапсидного храма, сопровождавшееся трапезами как в южном, так и в северном компартименте, и приношениями различного рода votivных предметов (в основном, крестов) (слои №№ 13, 13а-б, 14, 14а-в, возможно, заполнение ямы № 10 [южный компартимент], 12а [нижняя часть], слои №№ 7-1 и отчасти 6-2, 6-3 [северный компартимент]). В этот же период в северном компартименте, напротив прохода в юго-восточной стене была установлена столлообразная конструкция в виде плоского камня, который, вероятно, играл роль сегодняшнего жертвенника – протесиса. За пределами храма совершаются погребения в могиле № 1.

8. Первое разрушение церкви (слои №№ 6, 6-1, 6-2, 6-3, 2б и, частично, 12а, 12 в).

9. Расчистка руин, разборка стен северного компартимента и пилонов с западной стороны здания, консервация остатков северного компартимента продуктами разрушения его стен (слой № 2б).

10. Капитальная реконструкция южного компартимента в однефный одноапсидный храм, включавшая изменение контура апсиды, закладку северного входа, обустройство навеса у южного входа (столбовые ямы №№ 5, 6, 9), нивелировку поверхности пола остатками продуктов разрушения кладочного раствора и облицовки стен (слои № 12а, б), появление внутри храма массивной каменной перегородки, разделившей его пространство на нартекс и наос, повышение уровня порога южного входа, а также обустройство каких-то специальных конструкций в апсидной части (включавших туфовые архитектурные детали и донную часть высокогорлого кувшина) и у южного заплечика (скопление крупных фрагментов керамид, стенок пифосов, плоских плиток из аргиллита и туфа) (нижняя часть слоя № 12).

11. Освящение восстановленного храма, сопровождавшееся возжжением огня с внешней стороны южного входа (слой № 5б) и, возможно, возложением двух пластинчатых металлических крестов у кладки апсиды.

12. Функционирование одноапсидного храма, сопровождавшееся регулярными действиями как-то: возжжение огня при помощи кремня и кресала, порча стеклянных сосудов (ламп) и трапеза снаружи здания, предположительно перед его южным входом (слой № 5), а также votivными приношениями (металлические кресты, подвеска из раковины морского моллюска) внутри компартимента (верхняя часть слоя № 12а).

13. Второе разрушение строения (слои №№ 12 и 4).

14. Разборка остатков стен и завалов, осуществлявшаяся, видимо, с целью добычи пригодных для очередного использования строительных материалов (балок, гвоздей, черепицы, туфовых деталей, строительного камня и пр.) (верхняя часть слоя № 4 и слой № 11). Вероятно, остатки извлеченного из разрушенной апсиды туфа зафиксированы в верхней части слоя № 4 с внешней стороны западной стены храма¹².

15. Последующее использование руин храма (слой № 9), включавшее также устройство очага (слой № 10) и возведение кладки № 1, разделившей внутреннее пространство практически на две равные половины.

16. Окончательное разрушение остатков стен (слой № 2).

¹¹ Не исключено, что такое решение каким-то образом обусловлено наличием на этом же хребте, ниже, в 350 м к ЮВ от церкви, некрополя первой половины VII–VIII вв. (Лысенко, Тесленко 2012: 104, 110, рис. 1: 10, 2).

¹² Следует отметить, что аналогичное расположение извлеченных из руин остатков архитектурных деталей из мягких пород известняка (с внешней стороны западной стены) отмечено при раскопках храма на южной окраине с. Малый Маяк (Тесленко, Лысенко 2004б: 282, рис.5: разрез 5–6 [слой 6]).